



سنگ‌شناسی، زمین‌شیمی و شیمی‌کانی توده نفوذی شهرک (شرق‌تکاب، شمال‌غرب ایران)

حمید قریشوندی، علی اصغر سپاهی^{*}، محمد معانی جو

گروه زمین‌شناسی، دانشکده علوم پایه، دانشگاه بوعالی سینا، همدان

(دریافت مقاله: ۹۷/۱۱/۶، نسخه نهایی: ۹۸/۳/۸)

چکیده: توده نفوذی شهرک در مرز بین استان‌های آذربایجان غربی و کردستان قرار دارد. ترکیب سنگ‌شناسی این توده نفوذی شامل گرانودیوریت، مونزوودیوریت و مونزوگابری است که به درون واحدهای رسوبی با سن الیگومیوسن و دگرگونی‌های با سن کرتاسه و پرکامبرین نفوذ کرده است. بررسی‌های شیمی‌کانی در سنگ‌های گرانودیوریتی تا مونزوگابری نشان می‌دهد که پلازیوکلازها در ای ترکیب لابرادوریت تا بیتونیت و کلینوپیروکسن‌ها از نوع اوپیت هستند. دما-فشارستنجی بر کانی‌های پیروکسن دمای تشکیل این کانی‌ها را ۹۰۰ تا ۱۲۵۰ سانتی‌گراد و فشار تبلور کلینوپیروکسن‌ها را حدود ۶ تا ۱۰ کیلوبار برآورد می‌کند. بررسی‌های زمین‌شیمیایی سنگ‌کل نشان می‌دهد که ماقمای سازنده این سنگ‌ها ماهیت متالومین و آهکی قلایی دارد. در طیف چند عنصری بهنجارشده نسبت به کندریت و گوشه اولیه، غنی‌شدگی مشخصی از عناصر خاکی نادر سبک LREE نسبت به عناصر خاکی نادر سنگین HREE و تهی‌شدگی از Ti, P, Ta و Nb دیده می‌شود که از ویژگی‌های بارز سنگ‌های کمان‌های آتش‌فشاری مناطق فرورانش است. همچنین براساس نمودارهای مختلف زمین‌ساختی ماقمایی، این سنگ‌ها در محیط کرانه فعال قاره‌ای قرار دارند. بر پایه عناصر خاکی نادر، ماقمای مادر سنگ‌های مورد بررسی احتمالاً از یک گوشه غنی‌شده است.

واژه‌های کلیدی: توده نفوذی شهرک؛ شرق‌تکاب؛ شیمی‌کانی؛ کرانه فعال قاره‌ای.

زمین‌شیمی و جایگاه زمین‌ساختی آن انجام نشده است. برای مثال، عزیزی [۱] سنگ‌های دگرگونی مجاورتی اطراف اسکارن آهن منطقه شهرک را بررسی کرده و محلول‌های گرمابی ناشی از توده‌های ماقمایی اسیدی و حدواسط را عامل دگرگونی مجاورتی، دگرنهادی و اسکارن‌زایی آهن در منطقه دانسته است. سالمی [۲] پژوهشی پیرامون کانی‌نگاری و زمین‌شیمیایی توده سنگ آهن شهرک ۱، شرق تکاب و سیال‌های درگیر و زمین‌شیمی در کانسار آهن کورکورا-۱ (شهرک، شرق تکاب) انجام داده است. در این مقاله، کانی‌شناسی، زمین‌شیمی، محیط زمین‌ساختی و خاستگاه توده نفوذی شهرک بررسی شده است.

روش بررسی

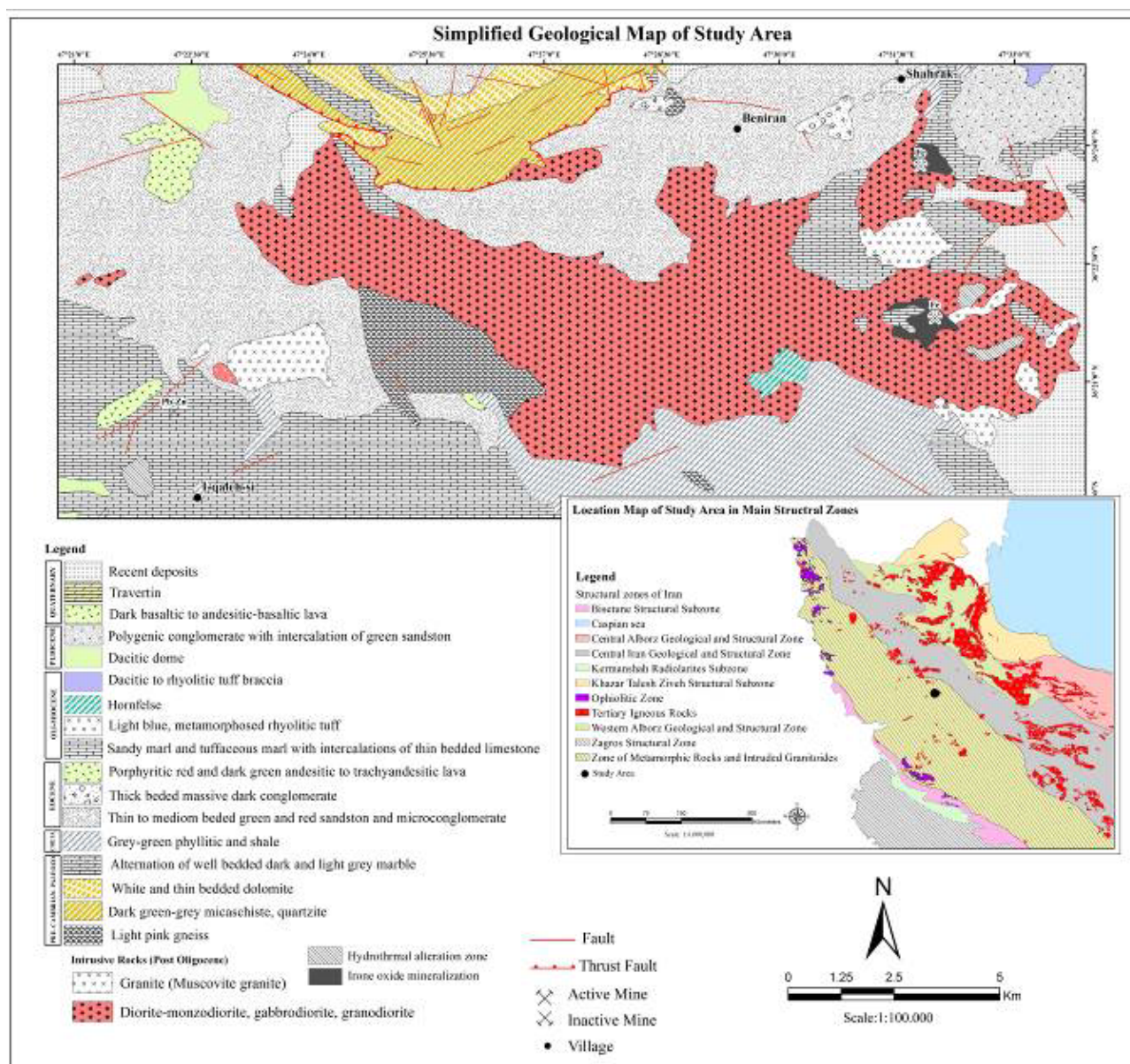
به منظور بررسی‌های سنگ‌شناسی و زمین‌شیمیایی بر

مقدمه
منطقه مورد بررسی در شمال‌غرب ایران در ۳۰ کیلومتری شرق تکاب قرار دارد (شکل ۱) و از نظر جغرافیایی، بخش‌هایی از استان‌های آذربایجان غربی و کردستان را در بر می‌گیرد. این منطقه در مختصات جغرافیایی "۳۶° ۲۵' ۱۰" تا "۳۶° ۴۷' ۲۰" عرض شمالی و "۵۴° ۴۷' ۰۲" تا "۵۴° ۳۳' ۰۰" طول شرقی واقع است. ویژگی‌های بارز زمین‌شناسی خواه زمین‌ساختی، ماقمایی، دگرنهادی، چینه‌شناسی یا کانی‌زایی در دو گستره زمانی پرکامبرین پسین-کامبرین پیشین و ترشیری باعث شده است که چهارگوش تکاب به عنوان یک ایالت فلززایی مهم مطرح گردد. در منطقه مورد بررسی به علت وجود کانسار آهن شهرک و کوکورا، پژوهش‌های متعددی پیرامون خاستگاه این کانسارها صورت گرفته، ولی تاکنون بررسی‌های زمین‌شناسی برای تعیین دقیق ترکیب سنگ‌شناسی این توده نفوذی و نیز

*نویسنده مسئول، تلفن: ۰۹۱۸۳۱۲۲۱۶۹، نامبر: ۰۸۱۳۸۳۸۱۱۷۲، پست الکترونیکی: aasepahi@gmail.com

الایی (ICP-MS) به آزمایشگاه Acme کانادا ارسال شد. همچنین تعداد ۴ مقطع از بین ۸۰ مقطع گرفته شده از نمونه‌های سالم، برای تجزیه به روش ریزپردازش الکترونی (EMA) توسط دستگاه Cameca SX100 با ولتاژ ۱۵ کیلوالکترون ولت، اندازه باریکه الکترونی ۳-۵ میکرومتر و جریان ۲۰ نانو آمپر اختبار شد. بررسی‌های شیمی‌کانی و تهیه تصاویر الکترونی از کانی‌های پلاژیوکلار و پیروکسن در سنگ‌های گرانودیوریتی تا گابرو‌دیوریتی در آزمایشگاه کانی‌شناسی مرکز تحقیقات فرآوری مواد معدنی ایران انجام شد.

سنگ‌های توده‌های نفوذی، پس از بررسی شواهد صحرایی و بازدید از رخنمون‌های مختلف، تعداد ۸۰ نمونه سنگی از واحدهای مجموعه نفوذی مورد نظر برداشت گردید و سپس، از آن‌ها مقطع نازک میکروسکوپی تهیه شد. پس از بررسی‌های دقیق سنگنگاری، تعداد ۱۴ نمونه از این توده که سالم و غیرهوازده بودند برای بررسی‌های زمین شیمیایی انتخاب گردید. نمونه‌ها پس از خردایش و آماده‌سازی در دانشگاه بولیسینا، به منظور تجزیه شیمیایی و اندازه‌گیری عناصر اصلی و کمیاب با روش طیف‌سنجی جرمی پلاسمای جفت شده



شکل ۱ جایگاه توده نفوذی شهرک در نقشه زمین‌شناسی ساده شده [۴,۳].

میکاشیست قرار دارند. سنوزوئیک در این منطقه با ردیف ضخیمی از ماسه سنگ‌های ریز تا متوسط دانه آؤسن آغاز می‌شود. در این میان، گسترش مارن‌های قم و کنگلومراپلیوسن بیشتر از سایر واحدهای سنگی است و مناطقی با ریختار به نسبت ملایم و تپه ماهور تشکیل می‌دهند.

مجموعه نفوذی شهرک دارای ترکیب سنگ‌شناسی گابرو‌دیوریت تا گرانودیوریت بوده و به صورت یک باтолیت به درون واحدهای رسوی آؤسن و الیگومیوسن و دگرگونه‌های کرتاسه و پرکامبرین نفوذ کرده است و بنابراین سنی پس از الیگوسن-میوسن (میوسن پسین) به آنها نسبت داده شده است [۳]. در کنار توده نفوذی شهرک، کانی‌سازی آهن بصورت مگنتیت و هماتیت دیده می‌شود که بر نقشه زمین‌شناسی سازی از نوع اسکارنی بوده و میزبان آن واحدهای آهکی الیگومیوسن است [۴].

سنگ‌نگاری توده نفوذی شهرک

ترکیب سنگ‌های نفوذی توده شهرک بر اساس بررسی‌های صحرایی و بررسی‌های سنگ‌نگاری شامل گرانودیوریت، دیوریت-مونزودیوریت، مونزونیت-کوارتزمونزونیت و مونزوگابرو تا گابرو‌دیوریت است. بر اساس بازدیدهای صحرایی، بخش‌ها و لبه جنوب‌غربی و جنوب‌شرقی توده نفوذی شهرک از نظر ترکیبی فلسفی تر از بخش‌های مرکزی و لبه شمالی توده هستند. در واقع، سنگ‌های گرانودیوریت و کوارتزمونزونیت بیشتر در جنوب این توده رخمنون دارند و با یک مرز تدریجی به سمت شمال و مرکز توده، ترکیب سنگ‌ها به سمت دیوریت و گابرو‌دیوریت تغییر می‌کند. البته این نکته را هم باید در نظر داشت که گاهی در میان واحدهای دیوریتی بصورت محلی باز رخمنون‌هایی از سنگ‌های گرانودیوریتی دیده می‌شود که مرز تدریجی با هم دارند.

دیوریت‌ها و مونزودیوریت بیشترین حجم توده نفوذی را شامل می‌شوند و اغلب در مرکز و به سمت شمال‌غرب و شمال-شرق رخمنون دارند. در نمونه دستی، این سنگ‌ها دارای بافت‌های دانه‌ای، پورفیری، پوست ماری و خال هستند و با بلورهای درشت پیروکسن، پلاژیوکلاز و آمفیبول دیده می‌شوند. به طور کلی، کانی‌های اصلی موجود در دیوریت‌ها شامل پلاژیوکلاز ۵۵ درصد، کلینوپیروکسن ۸ تا ۱۵ درصد، آمفیبول ۱۰ تا ۱۵ درصد، فلدسپار پتاسیم ۸ درصد، کانی کدر ۷ درصد و کانی‌های فرعی ۳ درصد هستند (جدول ۱). پلاژیوکلاز به صورت شکل‌دار تا نیمه شکل‌دار با داشتن ماکل چندریخت و هم‌چنین پهنه‌بندی موضعی به راحتی قابل تشخیص هستند.

زمین‌شناسی

بر اساس تقسیم‌بندی ساختاری ایران، منطقه مورد بررسی پهنه‌ای از پهنه‌آذربین نفوذی-دگرگونی سندج-سیرجان است [۴، ۳] (شکل ۱).

پهنه‌آذربین نفوذی-دگرگونی سندج-سیرجان از پویاترین پهنه‌های زمین‌ساختی ایران به شمار می‌رود و به علت وجود حجم گسترهای از توده‌های ماگمایی و گسترش فرایندهای دگرگونی، پیچیدگی‌های زمین‌ساختی ویژه‌ای دارد. بارزترین رخداد دگریختی و دگرگونی آن به پدیده باز و بسته شدن اقیانوس تیس جوان وابسته است و به دوره ژوراسیک و کرتاسه باز می‌گردد [۵]. توده‌های گرانیتوئیدی فراوانی که در این پهنه بروند دارند بیشتر ماهیت آهکی قلایای نوع I دارند و خاستگاه آنها کمان قاره‌ای است [۶، ۷]. بسیاری از توده‌های نفوذی این پهنه سن ژوراسیک تا پالئوسن دارند [۷، ۸].

سنگ‌های منطقه مورد بررسی از قدیم به جدید شامل دگرگونه‌های پرکامبرین (شیست و مرمر، مقدار کمی آمفیبولیت و گنیس)، سنگ‌های شیلی، اسلیتی و فیلیتی کرتاسه، سنگ‌های آذرآواری و آتش‌شانی آؤسن، نهشته‌های آواری الیگوسن، نهشته‌های آواری-کربناتی الیگومیوسن، نهشته‌های آواری میو-پلیوسن و نهشته‌های کواترنری هستند (شکل ۱).

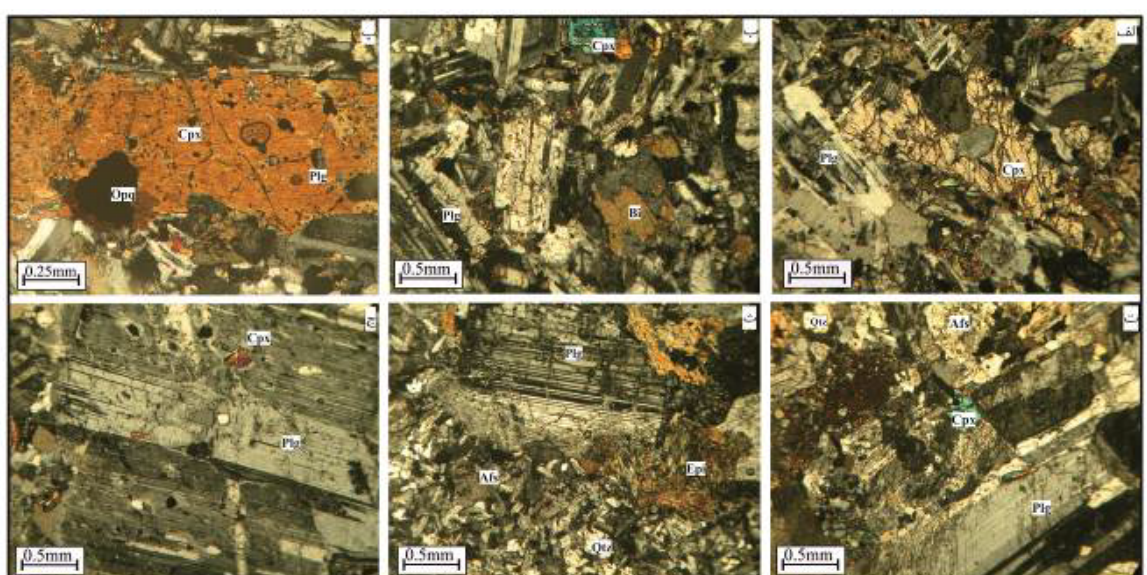
سنگ‌های دگرگونی پرکامبرین در بخش‌های شمالی و جنوبی منطقه رخمنون دارند و بلندی‌ها و مناطق دارای پستی و بلندی خشن را تشکیل می‌دهند. مرز زیرین سنگ‌های دگرگونی با واحدهای آؤسن راندگی است. مرز بالای آنها نیز با ناپیوستگی با واحدهای جوانتر الیگوسن-میوسن شناخته می‌شود. در نقشه ۱:۲۵۰۰۰ تکاب [۹] و بر پایه جایگیری آنها در زیر آهک‌های نادگرگون پرمین، سن این دگرگونی‌ها پیش از پرمین تشخیص داده شده است. کهن‌ترین سنگ‌های منطقه وابسته به سری به نسبت ضخیمی از میکاشیست و کوارتزیت است که ضخامتی حدود ۵۰۰ تا ۶۰۰ متر دارد. رنگ این واحد سبز تا خاکستری است و از نظر گسترش در دو طرف گسل تراسی چهار طاق (گسل اصلی منطقه با روند شمال‌غرب-جنوب‌شرق که باعث راندگی واحدهای دگرگونه پرکامبرین بر واحدهای آؤسن شده است) رخمنون دارد. واحد دگرگونه دیگری که در منطقه رخمنون دارد یک واحد گنیسی به رنگ صورتی روشن است که دارای ریختار ملایم بوده و بسیار خرد شده است. هم‌بُری این واحد بیشتر با ماسه سنگ‌های آؤسن (تصویر گسله) و توده نفوذی شهرک است. واحد دگرگونه دیگری که در شمال منطقه رخمنون دارد مرمر و مرمرهای دولومیتی هستند که با ضخامت ۲۵۰ تا ۶۰۰ متر بر واحد

۸ درصد و کانی‌های فرعی ۳ درصد هستند. پلازیوکلازها خودشکل هستند و می‌توان دو نسل پلازیوکلاز دانه درشت و ریز را از هم تشخیص داد. این کانی‌ها دارای ماکل چندریخت هستند. آثار تجزیه‌شدگی پلازیوکلاز به سریسیت نیز در بعضی از برش‌های نازک دیده می‌شود. کوارتز مونزونیت‌ها و گرانوودیوریت‌ها در نمونه دستی به رنگ خاکستری تا خاکستری روشن دیده می‌شوند و در بسیاری از بخش‌ها دگرسان شده‌اند. روشن دیده می‌شوند و در بسیاری بافت دارای بافت دانه‌ای، این سنگ‌ها در مقاطع میکروسکوپی بیشتر دارای بافت دانه‌ای، خال خال و پادراپاکیوی بوده و کانی‌های تشکیل‌دهنده اصلی آن‌ها شامل پلازیوکلاز ۵۵ تا ۶۵ درصد، فلدسپار پتاسیم ۱۰ تا ۲۰ درصد، کوارتز ۵ تا ۲۰ درصد، و کانی‌های فرعی شامل بیوتیت ۲ تا ۳ درصد، زیرکن، اسفن و کانی‌های کدر هستند (شکل ۲).

کانی مهم دیگر در این سنگ‌ها کلینوپیروکسن است. این کانی در اندازه متوسط تا درشت بلور و بی‌شکل تا نیمه‌شکل دار دیده می‌شود. در برخی نمونه‌ها، کلینوپیروکسن دارای میانبارهایی از ریزبلورهای پلازیوکلاز (بافت پوست ماری) است. بیوتیت به صورت نیمه‌شکل دار و ریز تا متوسط بلور در این سنگ‌ها به عنوان کانی فرعی دیده می‌شود. اپیدوت به همراه کلریت برآمده دگرسانی و تجزیه کانی‌های اصلی سنگ، یعنی پلازیوکلاز و پیروکسن هستند. مونزوگابرو - گابروودیوریت‌های توده نفوذی در نمونه دستی به رنگ خاکستری تیره دیده می‌شوند. این سنگ‌ها بیشتر دارای بافت پوست ماری، نیمه‌پوست ماری، خال خال و پورفیری با بخش دانه ریز تا متوسط و شامل کانی‌های پلازیوکلاز ۴۵ تا ۵۳ درصد، پتاسیم‌فلدسپار ۵ تا ۱۰ درصد، کلینوپیروکسن ۱۰ درصد، آمفیبول ۱۰ تا ۱۵ درصد، کانی کدر

جدول ۱ نتایج تجزیه شیمیایی عناصر اصلی توده نفوذی شهرک (بر حسب درصد وزنی).

نمونه	Tb۱۶	Tb۱۷	Tb۱۸	Tb۱۹	Tb۲۱	Tb۲۶	Tb۲۸	Tb۳۲	Tb۳۳	Tb۳۵	Tb۳۶	Tb۳۷	Tb۵۵	Tb۵۶
SiO ₂	۶۳,۷۶	۵۷,۴۹	۶۷,۶۳	۵۶,۰۹	۵۵,۴۶	۶۷,۲۲	۶۰,۳۳	۵۶,۹	۶۵,۷۵	۶۶,۱۸	۶۶,۶	۶۲,۸۳	۶۱,۹۴	۶۱,۶۲
Al ₂ O ₃	۱۶,۰۲	۱۷,۶	۱۵,۱۵	۱۸,۱۷	۱۸,۱۸	۱۵,۷	۱۶,۳۸	۱۷,۶۳	۱۶,۶	۱۶,۴۹	۱۵,۹۱	۱۶,۵۴	۱۶,۲	۱۶,۳۱
Fe ₂ O ₃	۵,۱۴	۷,۸۷	۵,۳۱	۸,۴۸	۸,۱۸	۲,۵۳	۲,۰۸	۷,۵۳	۱,۹	۱,۷	۳,۴۹	۵,۳۹	۲,۲۲	۲,۸۴
MgO	۲,۱۲	۳,۵۳	۱,۹۸	۳,۴	۳,۸۷	۱,۲۸	۳,۳۸	۳,۸۲	۲,۴۶	۲,۰۶	۱,۹۲	۲,۴۷	۲,۳۱	۲,۳۱
CaO	۵	۷,۱۸	۵,۵	۷,۰۳	۷,۷۷	۴,۳۲	۶,۹۹	۶,۷۹	۵,۷۲	۶,۶۳	۴,۶۱	۵,۲۲	۶,۰۹	۶,۰۷
Na ₂ O	۳,۷۸	۳,۲۸	۳,۹۲	۳,۰	۳,۶	۴,۴۹	۵,۹۶	۳,۲۶	۵,۳۳	۴,۷۷	۵,۵۸	۲,۷۹	۸,۷۴	۸,۵۷
K ₂ O	۲,۷۳	۱,۶۹	۳,۳۴	۱,۴	۱,۲۸	۲,۸۸	۲,۹۲	۱,۹۳	۰,۲۶	۰,۶۴	۰,۲۲	۱,۸۵	۰,۱۸	۰,۳۳
TiO ₂	۰,۴۷	۰,۶۴	۰,۴۱	۰,۷۳	۰,۶۸	۰,۴۷	۰,۵۵	۰,۶۶	۰,۵۱	۰,۵	۰,۴۱	۰,۴۸	۰,۶۴	۰,۶۵
P ₂ O ₅	۰,۰۹	۰,۱۱	۰,۰۹	۰,۱۷	۰,۱	۰,۱۱	۰,۱۱	۰,۰۹	۰,۱	۰,۰۸	۰,۱۴	۰,۱	۰,۱۲	۰,۱۲
MnO	۰,۰۵	۰,۱۴	۰,۰۵	۰,۱۴	۰,۱۵	۰,۰۴	۰,۰۵	۰,۱۱	۰,۰۳	۰,۰۲	۰,۰۳	۰,۰۴	۰,۰۷	۰,۰۸
Cr ₂ O ₃	۰,۰۷	۰,۰۰۶	۰,۰۰۶	۰,۰۰۴	۰,۰۰۵	۰,۰۰۸	۰,۰۰۶	۰,۰۰۵	۰,۰۰۴	۰,۰۰۵	۰,۰۰۵	۰,۰۰۴	۰,۰۰۶	۰,۰۰۹
مجموع	۹۹,۱۷	۹۹,۵۴	۹۹,۴۳	۹۹,۱۱	۹۹,۲۸	۹۹,۰۵	۹۹,۷۶	۹۸,۲۳	۹۸,۶۶	۹۹,۰۸	۹۸,۹۲	۹۸,۷۱	۹۸,۵۳	۹۸,۹۱



شکل ۲ (الف) بلورهای پلازیوکلاز و کلینوپیروکسن در دیبوریت‌ها؛ (ب) حضور ورقه‌های پراکنده بیوتیت در مونزونیت‌ها؛ (پ) بلورهای کلینوپیروکسن و پلازیوکلاز در مونزوگابرو؛ (ت) حضور پلازیوکلاز و پتاسیم فلدسپار در گرانوودیوریت‌ها؛ (ث) حضور کانی‌های اپیدوت در کنار پلازیوکلاز؛ (ج) میانبارهای پیروکسن درون پلازیوکلاز (تصاویر قطبیده مقطعی، XPL.) (Qtz: Quartz, Afs: Alkali feldspar, Epi: Epidote, Plg: Plagioclase, Cpx: Clinopyroxene, Bi: Biotite)

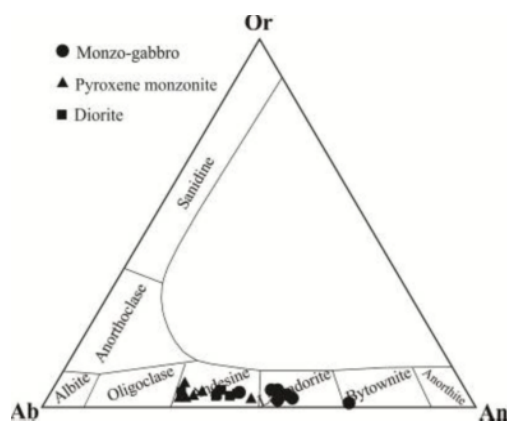
شیمی کانی‌ها
شیمی فلدسپارها

مهم Or و Ab تعیین می‌شود [۱۰] که در نمودار مثلثی Ab-An-Or هم داده‌های مربوط به فلدسپار پتاسیم و هم پلازیوکلаз آورده شده است. ترکیب شیمیایی پلازیوکلازها در دیوریت‌ها و مونزوگابروها از نوع بیتونیت تا لابرادوریت متغیر بوده و در مونزونیت‌ها از نوع آندزین است (شکل ۳).

فرمول ساختاری پلازیوکلاز بر اساس ۵ کاتیون و ۸ اتم اکسیژن محاسبه شد. نتایج تجزیه ریزپردازی و ترکیب ساختاری آن‌ها در جدول ۲ آمده است. انواع فلدسپارها توسط اعضای نهایی

جدول ۲ نتایج تجزیه شیمیایی عناصر کمیاب و خاکی نادر توده نفوذی شهرک (بر حسب ppm).

Sample	Tb۱۶	Tb۱۷	Tb۱۸	Tb۱۹	Tb۲۱	Tb۲۶	Tb۲۸	Tb۲۲	Tb۲۳	Tb۲۵	Tb۲۶	Tb۲۷	Tb۵۵	TB۵۶
Ba	۴۶۰	۲۲۶	۵۰۳	۲۲۴	۲۱۱	۶۸۵	۷۰۹	۲۴۰	۱۴۱	۱۲۸	۶۹	۲۹۰	۲۵	۵۵
Ni	<۲۰	<۲۰	<۲۰	<۲۰	<۲۰	<۲۰	<۲۰	<۲۰	<۲۰	<۲۰	<۲۰	<۲۰	<۲۰	<۲۰
Sc	۱۱	۱۷	۱۱	۱۷	۱۹	۱۰	۱۹	۲۰	۱۲	۱۲	۱۰	۱۳	۱۵	۱۵
Be	۱	۱	۱	۲	<۱	<۱	<۱	<۱	۳	۴	۱	<۱	<۱	<۱
Co	۶۹	۱۶۴	۱۰۳	۱۸۳	۲۰۴	۱۹	۷۹	۱۶۹	۴۴	۲	۳۴	۸۸	۳۳	۳۴
Cs	۰۲	۱۳	۰۲	۱۶	۱۸	۰۲	۱۵	۰۴	<۰۱	۰۱	<۰۱	۰۳	<۰۱	<۰۱
Ga	۱۹۵	۱۹۷	۱۷۱	۱۹۳	۱۹۸	۱۹۳	۱۷۶	۱۸	۱۶۹	۱۶۷	۱۶۹	۱۶۵	۱۶	۱۶۲
Hf	۳	۲۶	۲۶	۳	۲	۴۳	۲۸	۲۱	۲۸	۳	۲۷	۲۵	۳۸	۲۸
Nb	۶۴	۴۹	۶۳	۵۵	۴۶	۸۴	۵۴	۴۳	۶۶	۵۳	۶۱	۶۲	۷	۶۴
Rb	۶۵۵	۵۰۷	۶۱۵	۴۲۴	۴۴۴	۴۸	۷۸۴	۴۲	۲۵	۶۳	۲۴	۴۸۱	۳۲	۷۱
Sn	<۱	<۱	۳	<۱	۱	۱	<۱	۱	۳	۴	<۱	۱	۱	<۱
Sr	۲۱۲۹	۲۲۶۸	۲۸۰۷	۲۳۰۹	۲۲۸۳	۱۸۷۷	۴۸۰۸	۲۱۵۱	۲۷۸۱	۳۱۶۶	۲۲۲	۲۲۲۴	۱۴۳۷	۱۶۱۴
Ta	۰۶	۰۳	۰۷	۰۴	۰۳	۰۷	۰۴	۰۳	۰۶	۰۶	۰۶	۰۵	۰۵	۰۴
Th	۱۱۱	۵۹	۱۱۵	۴۶	۴۲	۱۳۲	۶	۵۸	۱۰۶	۱۲۷	۱۱۴	۷۶	۷	۵۸
U	۲۱	۲۱	۲۳	۱۱	۱۴	۴۷	۱۴	۱۲	۲۳	۱۶	۲۸	۱۸	۱۳	۱۴
V	۱۰۴	۱۷۱	۹۶	۱۶۲	۱۸۶	۷۲	۱۳۴	۱۸۴	۹۶	۵۹	۹۷	۱۱۱	۱۲۸	۱۳۲
W	۱۱	<۰۵	<۰۰۵	۰۷	<۰۰۵	<۰۰۵	<۰۰۵	<۰۰۵	<۰۰۵	<۰۰۵	<۰۰۵	<۰۰۵	<۰۰۵	<۰۰۵
Zr	۱۰۶۴	۸۳۴	۸۶۵	۹۸۹	۶۵	۱۵۴۱	۹۷۳	۷۴۷	۱۱۳۷	۱۱۳۳	۸۶۳	۹۰۱	۱۳۴۹	۱۳۹۲
Y	۱۷۵	۲۰۹	۱۷۷	۲۵	۱۸۷	۲۵۳	۱۸۲	۲۳۶	۲۰۹	۱۵۱	۱۶۶	۲۰۳	۲۳۷	۲۲۳
La	۱۵۹	۱۳۱	۱۴۶	۱۳۶	۱۲۴	۲۱۸	۸۳	۱۱۳	۱۲۵	۱۳۵	۲۰۶	۱۵۲	۱۲۴	۱۱۹
Ce	۲۸۸	۲۵	۲۷۹	۲۸۳	۲۲۳	۴۳۱	۱۸۹	۲۴	۲۷۶	۳۰۲	۳۳۷	۲۸۶	۲۸۳	۲۵۶
Pr	۳۴	۳۲۱	۳۳۴	۳۵۷	۲۹	۵۰۵	۲۵۳	۲۹	۳۲	۳۳	۳۶۷	۳۴۴	۳۵۹	۳۴۹
Nd	۱۱۷	۱۲	۱۱۸	۱۵	۱۱۴	۱۸۲	۱۰۵	۱۲۷	۱۲۶	۱۲۷	۱۲۸	۱۲۵	۱۴۸	۱۴۸
Sm	۲۶۲	۳۰۵	۲۴	۳۸۲	۲۸۱	۳۳۵	۲۲۳	۲۷۸	۳۱۴	۲۲۲	۲۴۷	۲۷	۳۲۹	۳۳۷
Eu	۰۶	۰۷۷	۰۶۶	۰۹۲	۰۸۴	۰۸۹	۰۸۲	۰۷۹	۰۷۸	۰۷۱	۰۶	۰۶۶	۰۸۹	۰۷۶
Gd	۲۴۳	۳۰۶	۲۴۹	۳۵۲	۳۱۱	۳۸	۲۶۵	۳۲۲	۳۴۲	۲۳۴	۲۸	۲۹۶	۳۶۳	۳۶۲
Tb	۰۴۶	۰۵۶	۰۴۵	۰۶۳	۰۵۲	۰۶۴	۰۴۲	۰۵۸	۰۵۵	۰۳۷	۰۴	۰۵	۰۶	۰۶
Dy	۲۶	۳۶۹	۲۷۵	۴۲۷	۳۵۲	۴۳	۳۰۴	۳۸۸	۳۸۸	۲۵۶	۲۹۲	۳۵۳	۴۰۹	۳۹۲
Ho	۰۵۸	۰۷۶	۰۶	۰۸۴	۰۶۹	۰۸۴	۰۶۲	۰۷۸	۰۷۴	۰۵۱	۰۶۳	۰۷	۰۸۵	۰۸۹
Er	۱۷۴	۲۳۷	۱۸۴	۲۵۷	۲۰۹	۲۷۷	۱۷۹	۲۵۸	۲۴۱	۱۶	۱۸۵	۲۱۲	۲۷۹	۲۵
Tm	۰۲۸	۰۲۵	۰۲۹	۰۳۸	۰۳۳	۰۳۸	۰۲۹	۰۳۶	۰۳۳	۰۲۵	۰۲۷	۰۳	۰۳۹	۰۳۷
Yb	۱۸۸	۲۳۹	۲۱۹	۲۵۴	۲۱۴	۲۸۷	۱۷۷	۲۴۹	۲۴	۱۸۵	۲۰۲	۲۰۹	۹۲۲	۲۵۱
Lu	۰۳۱	۰۱۴	۰۲۹	۰۳۹	۰۳۱	۰۴۵	۰۲۸	۰۳۴	۰۳۷	۰۲۸	۰۳	۰۳۴	۰۴۴	۰۳۷
LOI	۰۷	۰۳	۰۴	۰۷	۰۶	۰۸	۱	۱۶	۱۲	۰۸	۱	۱۲	۱۴	۱



شکل ۳ ردهبندی پلاژیوکلازها بر اساس ترکیب شیمیایی [۱۰].

دیوریتی و گابوردیوریتی شهرک برای مقایسه بر اساس ۶ اتم اکسیژن و ۴ کاتیون محاسبه شد. نتایج به دست آمده از تجزیه این کانی در جدول ۳ آورده شده است. ردهبندی کلینوپیروکسن‌های مورد بررسی بر اساس نمودار Ca-Mg-Q-J [۱۱] نشان می‌دهد که آن‌ها در ردیف کلینوپیروکسن‌های Ca-Mg-En-Wo-Fs Fe واقع هستند (شکل ۴ الف). بر اساس نمودار ترکیب کلینوپیروکسن‌های سنگ‌های مورد بررسی اوزیت و کلینوانستاتیت است [۱۲] (شکل ۴ ب).

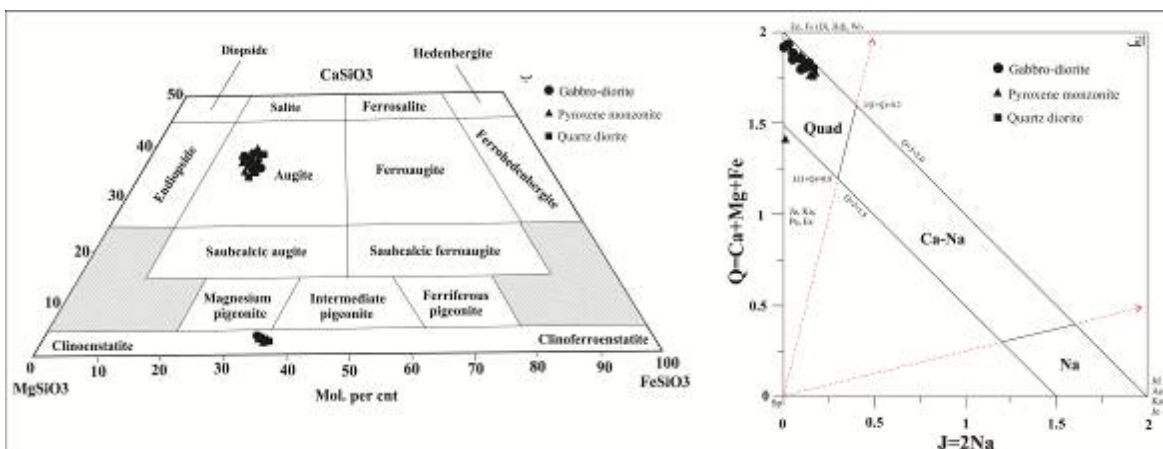
شیمی پیروکسن
فرمول عمومی کانی‌های گروه پیروکسن به صورت $M_2M_1T_2O_6$ است که جایگاه M2 توسط Ca (پیروکسن‌های کلسیمی)، Na (پیروکسن‌های سدیمی)، Fe^{3+} , Cr, Al, Mn, Fe^{2+} , Mg و جایگاه M1 توسط Si, Ti, Fe^{2+} , Mg و جایگاه T توسط Al اشغال می‌شود. بنابراین، تعیین ترکیب شیمیایی این کانی در فهم و درک بهتر دگرگونی‌های ماقمایی از اهمیت ویژه‌ای برخوردار است. فرمول ساختاری کانی کلینوپیروکسن در سنگ‌های گرانوپیرویتی،

جدول ۳ نتایج تجزیه ریزپردازشی کانی پیروکسن.

No	OPX۱	OPX۲	OPX۳	OPX۴	OPX۵	OPX۶	OPX۷	OPX۸	OPX۹
SiO ₂	51,84	51,83	52,55	53,38	52,86	52,67	52,02	52,85	54,73
TiO ₂	0,26	0,30	0,20	0,14	0,09	0,09	0,14	0,13	0,27
Al ₂ O ₃	2,02	1,92	0,81	0,82	0,47	0,58	0,65	0,62	3,79
Cr ₂ O ₃	0,00	0,01	0,02	0,01	0,01	0,00	0,00	0,00	0,00
FeO	10,69	10,03	9,84	21,02	21,51	21,42	22,00	21,66	9,18
MnO	0,43	3,20	0,38	1,01	0,91	0,98	0,90	0,97	0,07
MgO	12,26	12,27	13,95	21,64	22,75	22,13	22,14	21,77	17,49
CaO	20,31	20,85	21,36	2,18	0,71	1,39	1,41	0,97	12,62
Na ₂ O	0,25	0,44	0,15	0,6	0,07	0,00	0,05	0,1	0,53
K ₂ O	0,00	0,00	0,01	0,00	0,03	0,01	0,00	0,01	0,20
sum	99,16	98,98	99,47	100,26	99,36	99,27	99,31	98,99	98,88
Si	1,96	1,96	1,97	1,98	1,98	1,98	1,95	1,99	2,03
Ti	0,01	0,01	0,01	0,00	0,00	0,00	0,00	0,00	0,01
Al	0,09	0,09	0,04	0,04	0,02	0,03	0,03	0,03	0,17
Fe	0,34	0,32	0,31	0,65	0,67	0,67	0,69	0,68	0,28
Mn	0,01	0,01	0,01	0,03	0,03	0,03	0,03	0,03	0,00
Mg	0,75	0,75	0,78	1,25	1,28	1,24	1,24	1,22	0,97
Ca	0,82	0,87	0,86	0,09	0,03	0,06	0,09	0,06	0,51
Na	0,05	0,03	0,04	0,00	0,00	0,00	0,00	0,00	0,04
K	0,00	0,00	0,00	0,00	0,00	0,00	0,00	0,00	0,01
Cr	0,00	0,00	0,00	0,00	0,00	0,00	0,00	0,00	0,00
sum	4,02	4,03	4,01	4,05	4,01	4,00	4,03	4,02	4,01
Al (IV)	0,04	0,04	0,03	0,12	0,02	0,02	0,05	0,01	0,00
Al (VI)	0,05	0,04	0,01	0,03	0,00	0,00	-0,02	0,02	0,17
Fe 2+	0,32	0,29	0,27	0,65	0,65	0,65	0,62	0,68	0,28
Fe 3+	0,01	0,03	0,04	0,00	0,03	0,02	0,07	0,00	0,00
Mg	0,61	0,63	0,68	0,32	0,33	0,32	0,33	0,29	0,54
Wo	42,8	44,0	43,8	4,4	1,4	2,8	2,8	2	28,5
En	38,9	39	39,8	60,8	63,5	62	61,6	61,9	55
Fs	18,3	17	16,3	24,8	35,1	35,2	35,6	36,1	16,6

ادامه جدول ۳ نتایج آنالیز میکروپریوب کانی پیروکسن.

No	OPX۱۰	OPX۱۱	OPX۱۲	OPX۱۳	OPX۱۴	OPX۱۵	OPX۱۶	OPX۱۷	OPX۱۸
SiO ₂	۴۰.۶۵	۵۲.۵۲	۵۳.۵۸	۵۴.۳۶	۵۵.۹۶	۵۴.۵۵	۵۳.۸۵	۵۴.۸۲	۵۶.۱۸
TiO ₂	۰.۰۱	۱.۴۵	۱.۲۶	۱.۲۵	۰.۳۸	۰.۶۴	۰.۱۵	۰.۱۰	۰.۲۱
Al ₂ O ₃	۲۸.۴۹	۳.۸۱	۳.۷۹	۳.۸۷	۲.۴۹	۳.۲۱	۲.۶۲	۲.۲۴	۲.۲۵
Cr ₂ O ₃	۰.۰۰	۰.۰۳	۰.۰۴	۰.۰۴	۰.۰۴	۰.۰۳	۰.۰۰	۰.۰۱	۰.۰۱
FeO	۷.۳۰	۴.۲۳	۳.۹۷	۴.۲۸	۸.۴۰	۷.۸۲	۱۲.۴۹	۱۰.۹۴	۱۱.۸۴
MnO	۰.۳۳	۰.۱۹	۰.۱۴	۰.۱۸	۰.۰۹	۰.۱۶	۰.۷۶	۰.۷۵	۰.۵۸
MgO	۰.۰۲	۲۱.۴۱	۲۱.۶۹	۲۱.۷۱	۱۹.۷۵	۱۹.۶۷	۱۶.۷۴	۱۸.۰۱	۱۷.۳۵
CaO	۲۳.۵۲	۱۲.۲۳	۱۲.۴۰	۱۱.۰۸	۱۲.۴۴	۱۲.۶۲	۱۱.۷۳	۱۱.۷۵	۱۱.۶۱
Na ₂ O	۰.۰۰	۱.۱۳	۱.۲۰	۱.۱۹	۰.۶۳	۰.۹۰	۰.۳۳	۰.۲۹	۰.۲۶
K ₂ O	۰.۰۱	۰.۴۱	۰.۴۱	۰.۴۱	۰.۲۱	۰.۳۲	۰.۱۶	۰.۱۱	۰.۱۳
sum	۱۰۰.۳۴	۹۸.۴۱	۹۸.۴۸	۹۸.۳۷	۱۰۰.۳۹	۹۹.۹۲	۹۸.۸۳	۹۹.۰۲	۱۰۰.۴۲
Si	۱.۵۴	۱.۹۴	۱.۹۳	۱.۹۶	۲.۰۲	۱.۹۷	۲.۰۲	۲.۰۴	۲.۰۷
Ti	۰.۰۰	۰.۰۴	۰.۰۳	۰.۰۳	۰.۰۱	۰.۰۲	۰.۰۰	۰.۰۰	۰.۰۱
Al	۱.۲۷	۰.۱۶	۰.۱۶	۰.۱۶	۰.۱۱	۰.۱۴	۰.۱۲	۰.۱۰	۰.۱۰
Fe	۰.۲۳	۰.۱۳	۰.۱۲	۰.۱۳	۰.۲۵	۰.۲۴	۰.۳۹	۰.۳۴	۰.۳۷
Mn	۰.۰۱	۰.۰۱	۰.۰۰	۰.۰۱	۰.۰۰	۰.۰۰	۰.۰۲	۰.۰۲	۰.۰۲
Mg	۰.۰۰	۱.۱۵	۱.۱۷	۱.۱۷	۱.۰۶	۱.۰۹	۰.۹۴	۱.۰۰	۰.۹۵
Ca	۰.۹۶	۰.۴۹	۰.۴۹	۰.۴۳	۰.۴۸	۰.۴۹	۰.۴۷	۰.۴۹	۰.۴۷
Na	۰.۰۰	۰.۰۸	۰.۰۸	۰.۰۸	۰.۰۴	۰.۰۹	۰.۰۵	۰.۰۲	۰.۰۲
K	۰.۰۰	۰.۰۲	۰.۰۲	۰.۰۲	۰.۰۲	۰.۰۲	۰.۰۱	۰.۰۱	۰.۰۱
Cr	۰.۰۰	۰.۰۰	۰.۰۰	۰.۰۰	۰.۰۰	۰.۰۰	۰.۰۰	۰.۰۰	۰.۰۰
sum	۴.۰۱	۴.۰۲	۴.۰۱	۴.۰۰	۴.۰۲	۴.۰۶	۴.۰۳	۴.۰۲	۴.۰۱
Al (IV)	۰.۴۶	۰.۰۶	۰.۰۷	۰.۰۴	۰.۰۰	۰.۰۳	۰.۰۰	۰.۰۰	۰.۰۰
Al (VI)	۰.۸۰	۰.۱۰	۰.۰۹	۰.۱۳	۰.۱۱	۰.۱۱	۰.۱۲	۰.۱۰	۰.۱۰
Fe 2+	۰.۲۳	۰.۱۲	۰.۱۰	۰.۱۳	۰.۲۵	۰.۲۴	۰.۳۹	۰.۳۴	۰.۳۷
Fe 3+	۰.۰۰	۰.۰۰	۰.۰۲	۰.۰۰	۰.۰۰	۰.۰۰	۰.۰۰	۰.۰۰	۰.۰۰
Mg	-۰.۰۴	-۰.۷۳	-۰.۷۵	-۰.۷۱	-۰.۶۳	-۰.۶۳	-۰.۴۹	-۰.۵۶	-۰.۵۳
Wo	۷۹.۳	۲۶.۹	۲۷.۱	۲۴.۷	۲۶.۷	۲۷.۳	۲۵.۸	۲۵.۵	۲۵.۴
En	۰.۱	۶۵.۵	۶۵.۹	۶۷.۴	۵۹	۵۹.۲	۵۱.۲	۵۴.۴	۵۲.۹
Fs	۲۰.۶	۷.۶	۷.۰	۷.۸	۱۶.۶	۱۳.۵	۲۲	۲۰.۱	۲۱.۶



شکل ۴ (الف) جدایش پیروکسن‌های کلسیمی، کلسیمی-سدیمی و سدیمی بر پایه نمودار J-Q [۱۱] و (ب) نمایش ترکیب پیروکسن‌های نفوذی شهرک در نمودار En-Fs-Di, Hd [۱۲].

موجود در محیط تبلور پیروکسن‌ها کاهش می‌یابد. در همین راستا، چنان که در شکل ۶ دیده می‌شود این کانی در گستره فشار ۵ کیلوبار متبلور شده است.

سری ماقمایی و محیط زمین‌ساختی پیروکسن
گستره وسیع ترکیب شیمیایی کلینوپیروکسن‌ها در انواع سنگ‌های آذرین می‌تواند بیانگر سرشت خاستگاه ماقمای این کانی‌ها باشد. برای تعیین سرشت ماقمایی و جایگاه زمین‌ساختی ماقمایی مولد بلورهای کلینوپیروکسن منطقه با استفاده از ترکیب شیمیایی کلینوپیروکسن‌ها، از نمودارهای دو متغیره $\text{Ca}+\text{Na}$ نسبت به Ti [۱۶] استفاده شد (شکل ۷ الف). بر این اساس، نمونه‌های مورد بررسی در گستره نیمه قلیایی واقع هستند. لوکس [۱۷] نموداری را براساس تغییرات Al نسبت به TiO_2 برای ترکیب شیمیایی پیروکسن رسم کرده است که سنگ‌های وابسته به فرورانش را از سنگ‌های وابسته به کافت تمایز می‌سازد. در این نمودار، نمونه‌های مورد بررسی با روند مربوط به فرورانش همخوانی دارند (شکل ۷ ب).

زمین شیمی سنگ کل

برای نام‌گذاری سنگ‌های مورد بررسی از نمودارهای ارائه شده در مراجع مختلف، استفاده شد. بر اساس نمودار مجموع عناصر قلیایی نسبت به سیلیس [۱۸]، توده‌های نفوذی شهرک در گستره دیوریت و گرانودیوریت قرار دارند (شکل ۸ الف). در رده‌بندی دیگری براساس مقادیر کاتیونی عناصر و پارامترهای $R1$ و $R2$ [۱۹]، سنگ‌های مورد بررسی در گستره سینوگابرو، سینودیوریت، دیوریت و تونالیت قرار دارند (شکل ۸ ب).

دما-فشارسنجی کانی پیروکسن

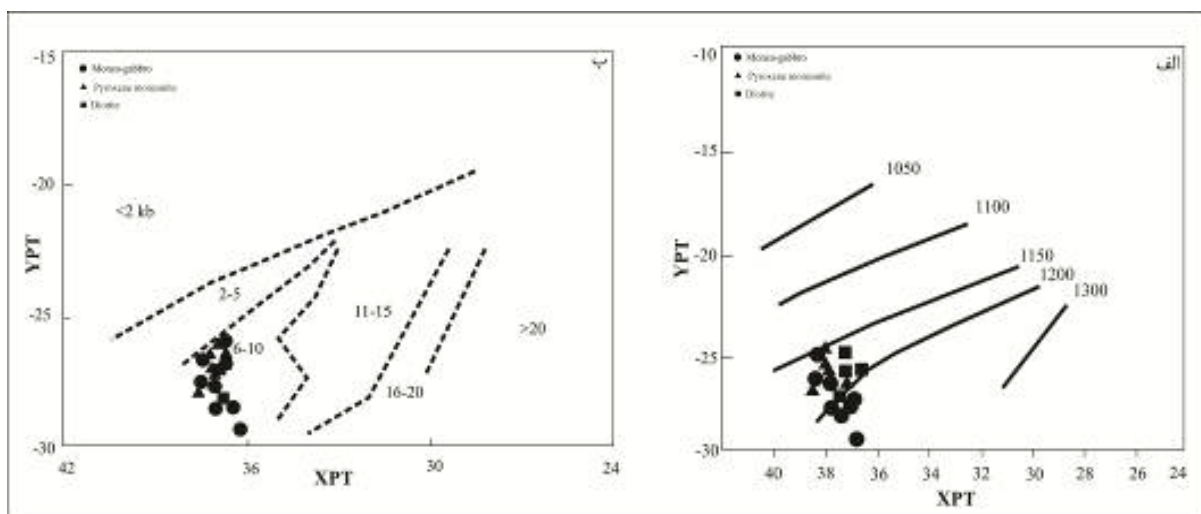
پژوهش‌ها نشان می‌دهد که ترکیب شیمیایی کلینوپیروکسن وابسته به شرایط دما و فشار است. بنابراین شرایط P-T ماقمای نقش مهمی در ترکیب کلینوپیروکسن‌ها دارد. برای بررسی دمای تشکیل پیروکسن‌ها از شاخص‌های XPT و YPT (شکل ۵ الف) که بر اساس روابط زیر محاسبه شده‌اند [۱۳] استفاده گردید.

$$\begin{aligned} \text{XPT} = & 0.446 \text{ SiO}_2 + 0.187 \text{ TiO}_2 - 0.404 \text{ Al}_2\text{O}_3 + \\ & 0.346 \text{ FeO(tot)} - 0.052 \text{ MnO} + 0.309 \text{ MgO} + \\ & 0.431 \text{ CaO} - 0.446 \text{ Na}_2\text{O} \end{aligned} \quad (1)$$

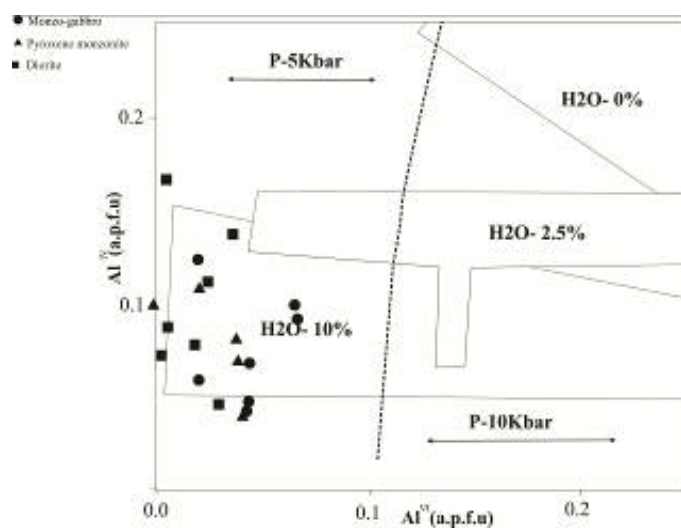
$$\begin{aligned} \text{YPT} = & -0.369 \text{ SiO}_2 + 0.535 \text{ TiO}_2 - 0.317 \text{ Al}_2\text{O}_3 + \\ & 0.323 \text{ FeO(tot)} + 0.235 \text{ MnO} - 0.516 \text{ MgO} - 0.167 \\ & \text{CaO} - 0.153 \text{ Na}_2\text{O} \end{aligned} \quad (2)$$

مزیت مهم این روش دما‌سنجی این است که حضور همزمان دو پیروکسن الزامی نیست، از طرفی برای انواع پیروکسن‌های Fe-Mg و Mg-Ca-Fe دار قابل استفاده است. براساس این روش، دمای تشکیل پیروکسن‌ها در توده شهرک حدود ۱۱۵۰ تا ۱۲۵۰ درجه سانتی‌گراد بدست می‌آید (شکل ۵ الف). فشار تبلور کلینوپیروکسن‌های توده نفوذی شهرک با استفاده از نمودار مرجع [۱۳] براساس مقادیر XPT و YPT (شکل ۵ ب) حدود ۶ تا ۱۰ کیلوبار برآورد می‌شود.

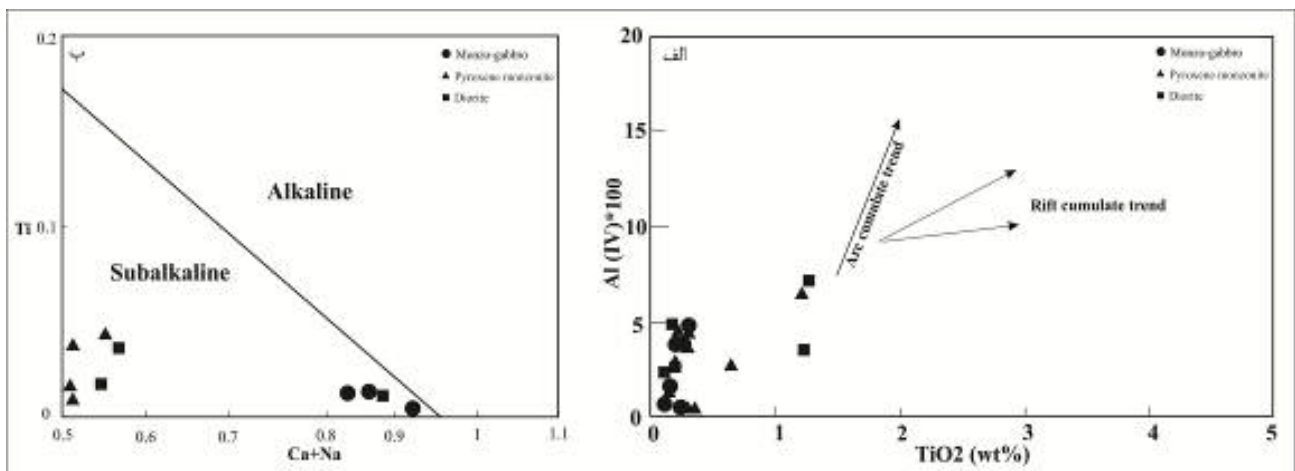
هلز [۱۴] تاثیر همزمان دو عامل مقدار آب و فشار در اعماق مختلف را در نظر گرفته و معتقد است که توزیع آلومینیوم در جایگاه‌های چاروجه‌ی و هشت‌وجهی در کلینوپیروکسن‌ها معیار مناسبی برای برآورد مقدار آب ماقمای سازنده و فشار محیط تشکیل سنگ‌های آذرین پیروکسن‌دار است [۱۵، ۱۶]. بنابراین، مقدار Al^{IV} در پی افزایش مقدار آب



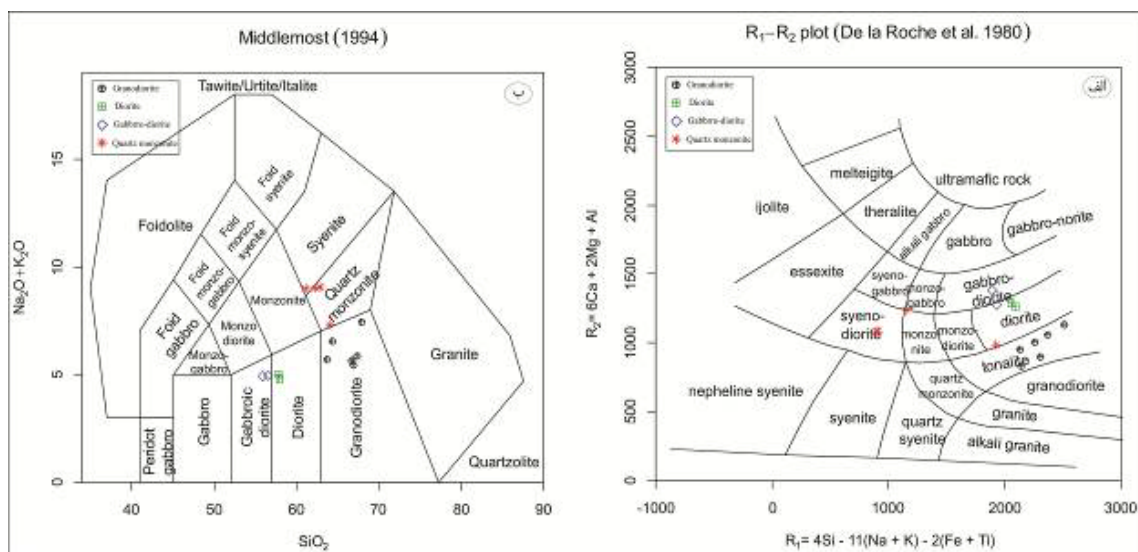
شکل ۵ (الف) تعیین دمای تبلور پیروکسن‌ها و (ب) تعیین فشار تبلور پیروکسن‌ها [۱۳].



شکل ۶ نمودار توزیع Al در جایگاه‌های چاروچهی و هشتوجهی در کلینوپیروکسن‌ها به تناسب درصد آب مagma [۱۴].



شکل ۷ (الف) نمودار Ti نسبت به $Ca + Na$ و جایگاه نمونه‌های کلینوپیروکسن‌های منطقه بر آن [۱۶]. (ب) نمودار $(AlIV * 100)$ نسبت به TiO_2 و جایگاه کلینوپیروکسن‌های منطقه بر آن [۱۷].



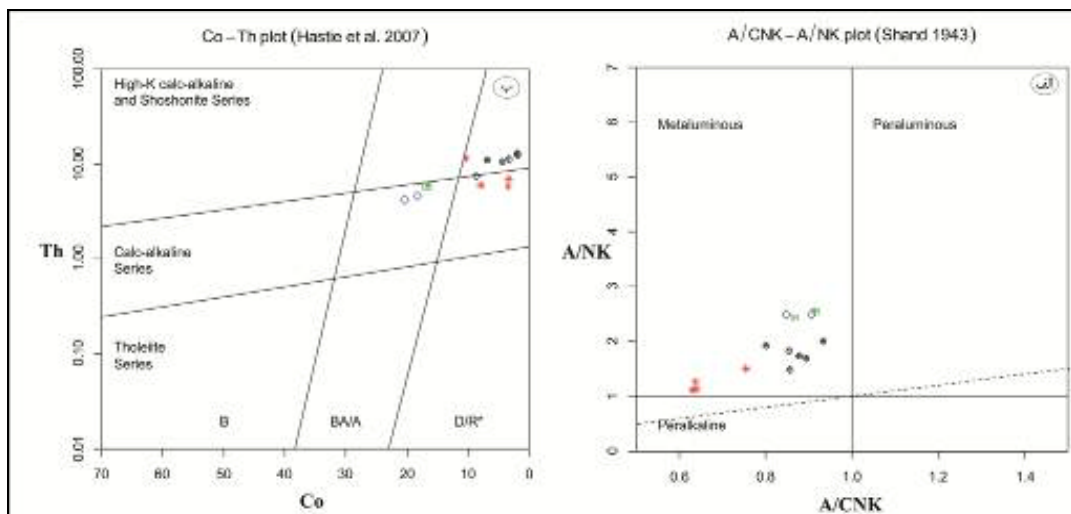
شکل ۸ ردبهندی شیمیایی سنگ‌ها: (الف) بر اساس نمودار کاتیونی [۱۹]. (ب) بر اساس نمودار مرجع [۱۸].

انتهاي در فاز مایع باقی مانده و با افزایش SiO_2 ، غنی‌شدگی از خود نشان می‌دهند. کاهش مقدار Sr ناشی از کاهش پلازیوکلаз طی جدایش بلورین است، چرا که Sr به جای کلسیم در شبکه پلازیوکلاز کلسیم‌دار وارد می‌شود. Co نیز که یک عنصر سازگار سه ظرفیتی است، رفتاری مشابه آهن، منیزیم و تیتانیوم دارد و جانشین Fe^{3+} ، Mn^{2+} و تیتانیوم در کانی‌های فرومیزین و تیتانومگنتیت می‌شود (جدول ۴، شکل ۱۰).

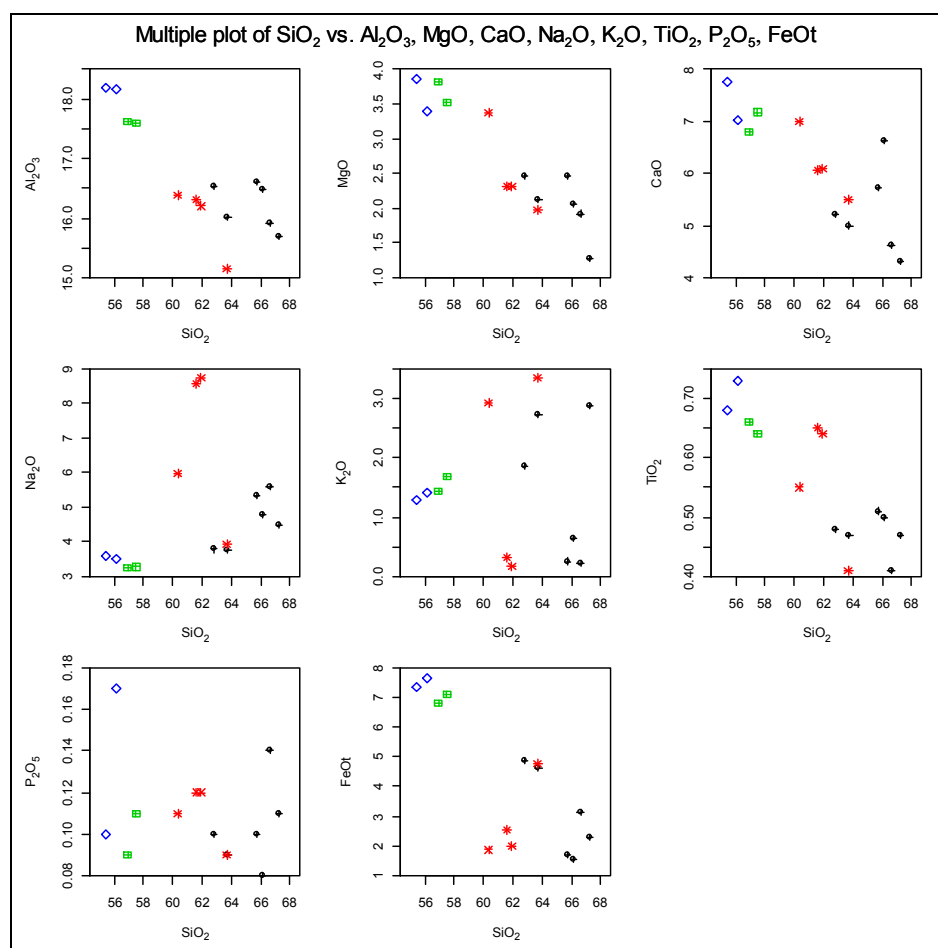
از آنجا که هر دو فرایند ذوب‌بخشی و تبلور جدایشی منجر به آثار نهایی مشابهی در تشکیل سنگ‌های ماقمایی می‌شوند، بنابراین با مشاهده ارتباط خویشاوندی نمونه‌ها، باید دید که کدام یک از این فرایندها علت این ارتباط هستند؟ برای پاسخ به این سوال لازم است از نمودارهای خاصی استفاده شود. در این نمودارها تغییرات دو عنصر ناسازگار یا یک عنصر سازگار با یک عنصر ناسازگار نسبت به هم است. اگر دو عنصر ناسازگار روند خطی مثبتی که از مبدأ مختصات نیز بگذرد نشان دهنند، همچنین نمودار عنصر سازگار با عنصر ناسازگار نیز روندی خطی و منفی داشته باشد، فرایند اصلی ارتباط بین سنگ‌ها تبلور جدایشی است؛ در غیر اینصورت، ذوب‌بخشی در تعادل با خاستگاه، عامل اصلی ارتباط است [۲۴]. بر این اساس، سنگ‌های منطقه مورد بررسی در نمودارهای $\text{K}_2\text{O}-\text{Rb}$ ، $\text{Ba}-\text{Rb}$ و $\text{K}_2\text{O}-\text{Ba}$ روندهای خطی با شیب مثبت و در نمودارهای $\text{V}-\text{Ba}$ و $\text{Hf}-\text{Sc}$ ، $\text{Sc}-\text{Zr}$ شیب منفی نشان می‌دهند (شکل ۱۲) که همه بیانگر نقش اساسی تبلور جدایشی در دگرگونی سنگ‌های منطقه هستند.

نمونه‌های مورد بررسی در نمودار مرجع [۲۱، ۲۰]، در گستره متالومین قرار دارند (شکل ۹ الف) و در نمودار مرجع [۲۲] در گستره آهکی قلیایی و آهکی قلیایی پتاسیم بالا واقع هستند (شکل ۹ ب).

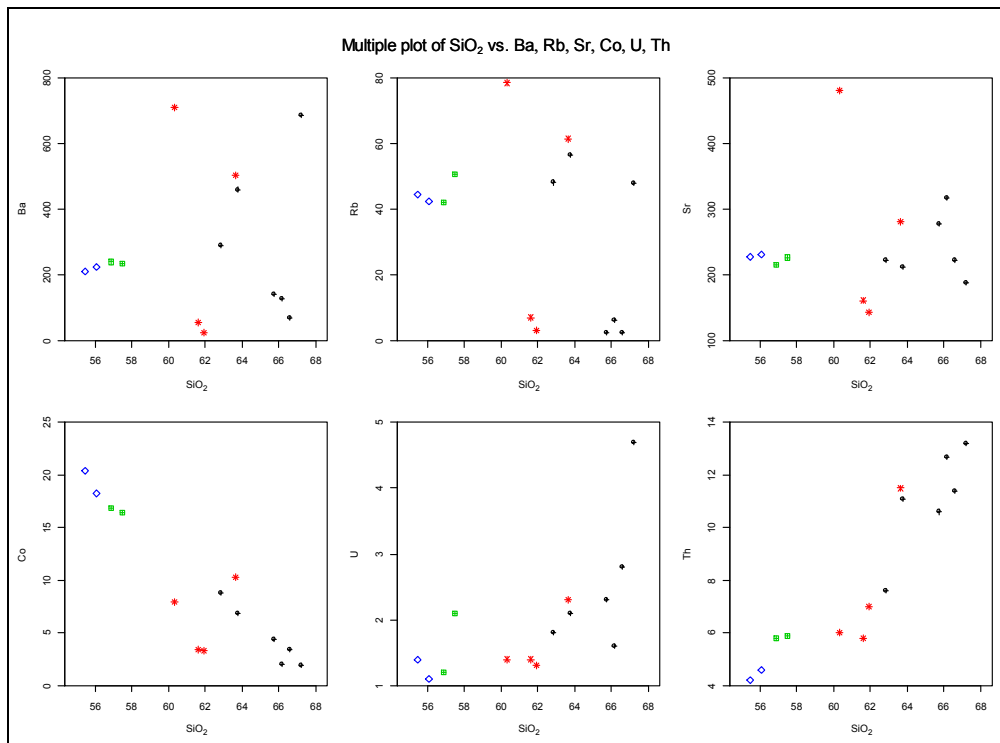
تغییرات مقادیر عناصر در شناخت دگرگونی‌های ماقمایی (پدیده جدایش بلورین یا ذوب‌بخشی) می‌تواند مفید باشد. در نمودارهای مرجع [۲۳]، با افزایش مقدار سیلیس مقادیر اکسیدهای P_2O_5 و CaO ، Al_2O_3 ، TiO_2 ، MgO ، Fe_2O_3 ، CaO با کاهش می‌یابد (شکل ۱۰). کاهش مقدار MgO و Fe_2O_3 با تبلور کلینوپیروکسن و بیوتیت و روند نزولی مقدار TiO_2 با حضور اکسیدهای آهن-تیتانیومدار (تیتانومگنتیت) در سنگ‌ها قابل توجیه هستند. همچنین، کاهش مقادیر K_2O و Na_2O با SiO_2 نسبت به P_2O_5 با تبلور بخشی پلازیوکلاز و کاهش مقادیر K_2O و Na_2O توجیه می‌شود. تغییرات مقادیر K_2O و Na_2O نسبت به SiO_2 یک روند مثبت و افزایشی است، زیرا با پیشرفت جدایش، مقدار آن‌ها در گدازه باقیمانده افزایش یافته و سرانجام وارد ساختار ارتوکلаз می‌شود. البته پراکندگی‌هایی در نمودار مربوط به Na_2O به چشم می‌خورد که می‌تواند به دلیل دگرسانی پلازیوکلاز و همچنین پویایی این اکسیدها در رخدادهای دگرسانی باشد (شکل ۱۰). در نمودارهای مرجع [۲۳]، روند تغییر مقدار عناصر U ، Rb ، Ba و Th با افزایش مقدار سیلیس افزایشی است، ولی مقدار Sr و Co روندی کاهشی دارند (شکل ۱۱). Rb و Ba به خاطر جانشینی در کانی‌های پتاسیم‌داری مانند ارتوکلاز در مراحل پایانی تبلور ماقما، روند افزایشی دارند. Th نیز به دلیل ناسازگاری و شعاع یونی بزرگ تا مراحل



شکل ۹ (الف) جایگاه نمونه‌های مورد بررسی بر نمودار تعیین درجه اشباع از آلومینیوم [۲۱] و (ب) جایگاه نمونه‌های مورد بررسی بر نمودار تعیین سری ماقمایی [۲۲].



شکل ۱۰ نمودارهای تغییرات عناصر کمیاب نسبت به SiO_2 [۲۳] (عناصر بر حسب درصد وزنی) (علام مانند شکل ۸ است).



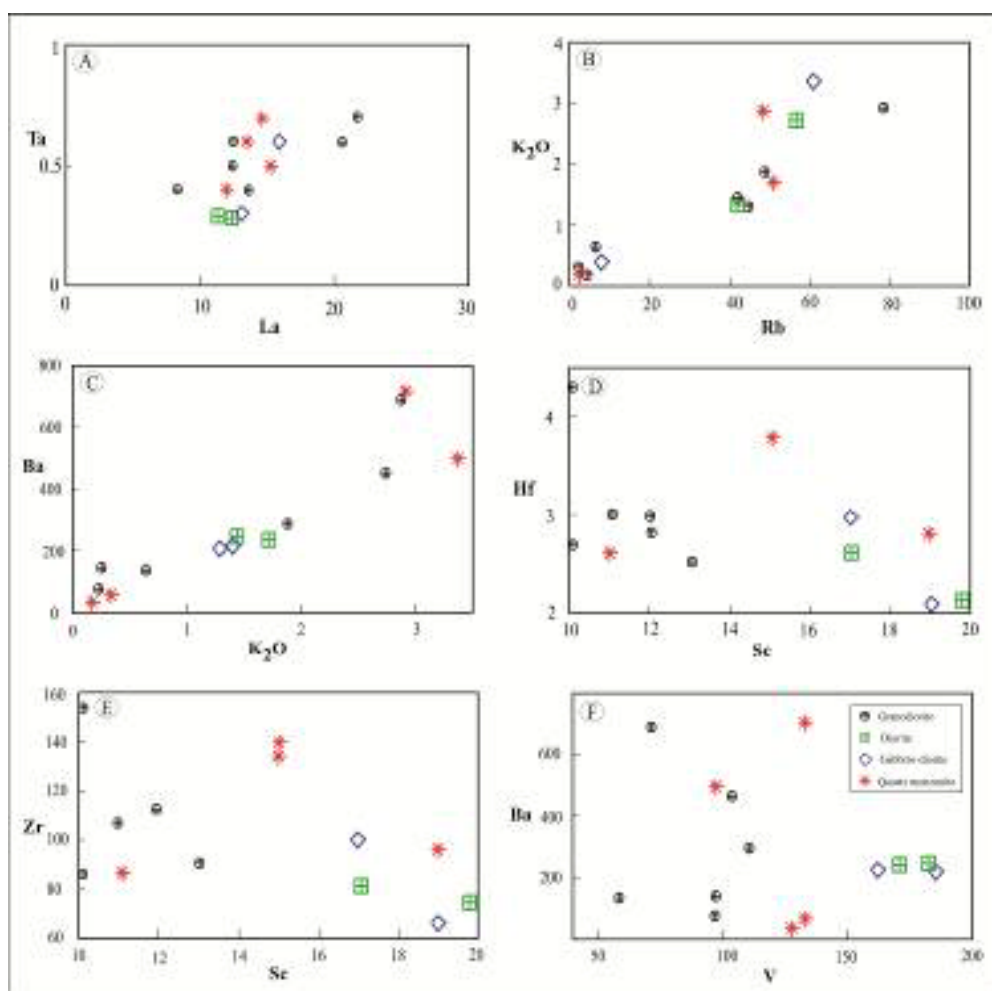
شکل ۱۱ نمودارهای تغییرات عناصر کمیاب نسبت به SiO_2 [۲۳] (عناصر بر حسب ppm). (علام مانند شکل ۸ است).

جدول ۴ نتایج تجزیه ریزپردازشی کانی پلاژیوکلاز.

PointNo	Plg۱	Plg۲	Plg۳	Plg۴	Plg۵	Plg۶	Plg۷	Plg۸	Plg۹	Plg۱۰
SiO ₂	۵۷,۱۱	۵۴,۶۵	۵۴,۷۲	۵۳,۹۱	۵۴,۳۵	۵۲,۳۷	۵۴,۳۶	۵۶,۱۱	۵۴,۵۶	۶۰,۱۴
TiO ₂	-	۰,۰۵	۰,۰۲	۰,۰۳	-	۰,۰۵	-	۰,۰۲	-	-
Al ₂ O ₃	۲۷,۴۱	۲۹,۲۶	۲۹,۱	۳۰,۱۸	۲۸,۹۳	۲۹,۲۹	۲۹,۰۱	۲۷,۱	۲۹,۳۹	۲۵,۴۲
FeO	-,۴۱	-,۳۷	-,۳۱	-,۲۷	-,۲۷	-,۳۷	-,۳	-	-,۱۸	-,۱۹
MnO	-,۰۳	-,۰۲	-	-,۰۱	-	-	-	-	-	-
MgO	-,۰۲	-,۰۱	-,۰۲	-,۰۵	-,۰۱	-	-,۰۱	-,۰۳	-,۰۱	-
CaO	۸,۸۱	۱۰,۱۲	۱۰,۳۳	۱۱,۰۳	۱۰,۶۷	۱۰,۷۶	۱۰,۲۷	۹,۴	۱۰,۴۵	۸,۱۶
Na ₂ O	۶,۱۴	۵,۵۳	۵,۶۵	۵,۱۷	۴,۶۳	۵,۳۱	۵,۰۸	۷,۹۳	۵,۹۳	۸,۲۳
K ₂ O	-,۳۲	-,۲۹	-,۲۳	-,۲۲	-,۲۳	-,۲۳	-,۱۹	-,۳۴	-,۲۸	-,۵۷
Cr ₂ O ₃	-	-	-,۰۵	-	-	-	-	-,۰۱	-	-
Total	۱۰۰,۲۵	۱۰۰,۶	۱۰۰,۴۳	۱۰۰,۸۷	۹۹,۰۹	۹۹,۳۸	۹۹,۷۲	۱۰۰,۹۴	۱۰۰,۸	۱۰۰,۷۱
Si	۲,۵۶	۲,۴۵	۲,۴۶	۲,۴۲	۲,۴۷	۲,۴۳	۲,۴۶	۲,۵۲	۲,۴۵	۲,۶۷
Ti	-	-	-	-	-	-	-	-	-	-
Al	۱,۴۵	۱,۵۵	۱,۵۴	۱,۵۹	۱,۵۵	۱,۵۷	۱,۵۵	۱,۴۳	۱,۵۵	۱,۳۳
Fe2+	-,۰۲	-,۰۱	-,۰۱	-,۰۱	-,۰۱	-,۰۱	-,۰۱	-	-,۰۱	-,۰۱
Mn	-	-	-	-	-	-	-	-	-	-
Mg	-	-	-	-	-	-	-	-	-	-
Ca	-,۴۲	-,۰۵	-,۰۵	-,۰۵۳	-,۰۵۲	-,۰۵۲	-,۰۵	-,۰۴۵	-,۰۵	-,۰۲۹
Na	-,۰۳	-,۴۸	-,۴۹	-,۴۵	-,۴۱	-,۴۷	-,۴۹	-,۶۹	-,۵۲	-,۱۱
K	-,۰۲	-,۰۲	-,۰۱	-,۰۱	-,۰۱	-,۰۱	-,۰۱	-,۰۲	-,۰۲	-,۰۳
Cr	-	-	-	-	-	-	-	-	-	-
Sum	۵	۵,۰۲	۵,۰۲	۵,۰۲	۴,۹۷	۵,۰۲	۵,۰۲	۵,۱۲	۵,۰۴	۵,۰۴
Ab	-,۰۵	-,۴۸	-,۴۹	-,۴۵	-,۴۳	-,۴۷	-,۴۹	-,۵۹	-,۵	-,۶۹
Or	-,۰۲	-,۰۲	-,۰۱	-,۰۱	-,۰۱	-,۰۱	-,۰۱	-,۰۲	-,۰۲	-,۰۳
An	-,۴۳	-,۰۵	-,۰۵	-,۰۵۳	-,۰۵۵	-,۰۵۲	-,۰۵	-,۳۹	-,۴۹	-,۲۸

ادامه جدول ۴ نتایج تجزیه ریزپردازشی کانی پلاژیوکلاز

شماره نقطه	Plg11	Plg12	Plg13	Plg14	Plg15	Plg16	Plg17	Plg18	Plg19	Plg20
SiO ₂	۶۱,۶۱	۵۶,۳۷	۵۷,۰۷	۵۸,۷۲	۵۵,۰۶	۵۵,۸۳	۵۴,۲۸	۵۰,۲۶	۵۴,۳۱	۵۶,۱۳
TiO ₂	-,۰۱	-,۰۴	-	-,۰۳	-,۰۲	-	-,۰۱	-,۰۵	-,۰۳	-
Al ₂ O ₃	۲۴,۷	۲۷,۲۱	۲۷,۱۶	۲۶,۲۲	۲۷,۷۷	۲۸,۲۸	۲۹,۵۱	۲۲,۱۷	۲۹	۲۷,۶۱
FeO	-,۲۷	-,۰۲	-,۰۲	-,۰۳	-,۰۲	-,۰۲	-,۰۳	-,۳۸	-,۳۱	-,۳۶
MnO	-	-	-,۰۱	-,۰۲	-,۰۱	-	-	-,۰۲	-	-
MgO	-,۰۲	-,۰۱	-,۰۲	-,۰۳	-,۰۳	-,۰۱	-,۰۲	-,۰۲	-,۰۳	-,۰۲
CaO	۵,۷۸	۹,۵۸	۸,۷۸	۷,۰۴	۹,۹۳	۱۰,۱	۱۱,۳۵	۱۴,۵۲	۱۱,۰۸	۹,۱۳
Na ₂ O	۶,۲۷	۶,۵۲	۶,۷	۶,۷۶	۵,۰۸	۵,۹	۵,۱۴	۳,۲۹	۵,۲۸	۶,۳۹
K ₂ O	-,۷۳	-,۰۳	-,۰۲	-,۶۴	-,۰۳	-,۰۴	-,۰۳۳	-,۱۴	-,۳۷	-,۳۹
Cr ₂ O ₃	-,۰۲	-	-	-,۰۱	-,۰۱	-,۰۲	-	-,۰۴	-	-
مجموع	۹۹,۴۱	۱۰۰,۲۳	۱۰۰,۳	۹۹,۷۷	۹۸,۹۹	۱۰۰,۱۸	۱۰۰,۹۴	۱۰۰,۸۹	۱۰۰,۴۱	۱۰۰,۰۳
Si	۲,۷۴	۲,۵۴	۲,۵۶	۲,۶۳	۲,۵۱	۲,۵	۲,۴۳	۲,۲۸	۲,۴۵	۲,۵۳
Ti	-	-	-	-	-	-	-	-	-	-
Al	۱,۲۹	۱,۴۴	۱,۴۳	۱,۳۸	۱,۴۹	۱,۴۹	۱,۵۶	۱,۷۲	۱,۵۴	۱,۴۷
Fe2+	-,۰۱	-,۰۱	-,۰۱	-,۰۱	-,۰۱	-,۰۱	-,۰۱	-,۰۱	-,۰۱	-,۰۱
Mn	-	-	-	-	-	-	-	-	-	-
Mg	-	-	-	-	-	-	-	-	-	-
Ca	-,۲۸	-,۴۶	-,۴۲	-,۳۴	-,۴۸	-,۴۸	-,۵۵	-,۷	-,۵۴	-,۴۴
Na	-,۵۴	-,۵۷	-,۵۸	-,۵۹	-,۴۹	-,۵۱	-,۴۵	-,۲۹	-,۴۶	-,۵۶
K	-,۰۴	-,۰۲	-,۰۱	-,۰۴	-,۰۲	-,۰۲	-,۰۲	-,۰۱	-,۰۲	-,۰۲
Cr	-	-	-	-	-	-	-	-	-	-
مجموع	۴,۹	۵,۰۳	۵,۰۲	۴,۹۹	۵	۵,۰۲	۵,۰۲	۵,۰۱	۵,۰۲	۵,۰۳
Ab	-,۶۳	-,۵۴	-,۵۷	-,۶۱	-,۵	-,۵	-,۴۴	-,۲۹	-,۴۵	-,۵۵
Or	-,۰۵	-,۰۲	-,۰۱	-,۰۴	-,۰۲	-,۰۲	-,۰۲	-,۰۱	-,۰۲	-,۰۲
An	-,۳۲	-,۴۴	-,۴۱	-,۳۵	-,۴۹	-,۴۸	-,۵۴	-,۷	-,۵۳	-,۴۳



شکل ۱۲ نمودارهای تغییرات عناصر ناسازگار-ناسازگار و سازگار-ناسازگار نسبت به هم یکدیگر در سنگ‌های نفوذی شهرک [۲۴].

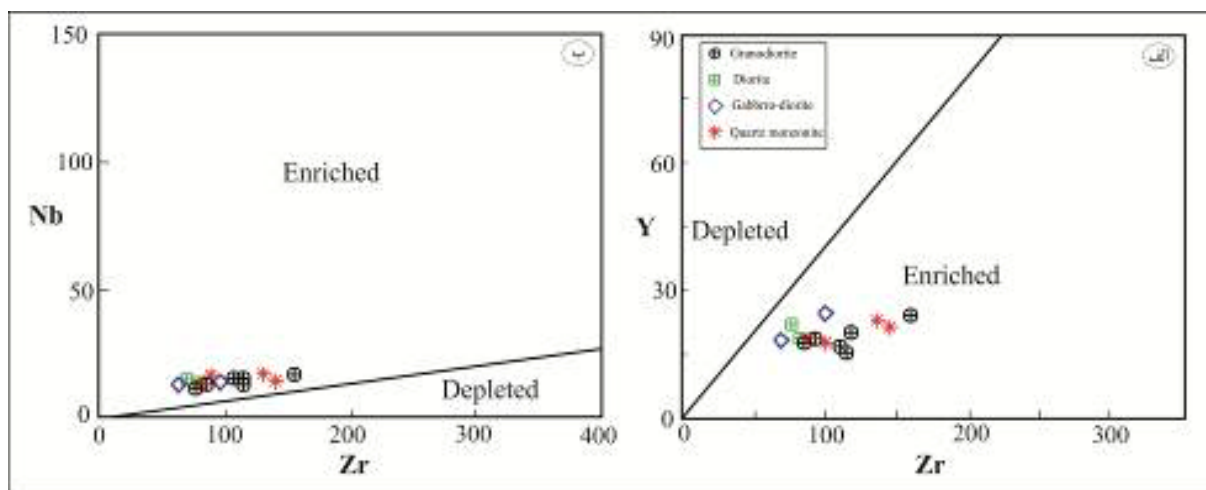
آشکارا از مقدار آن در بازالت‌های پشت‌های میان اقیانوسی و بازالت‌های جزایر قوسی (به ترتیب ۴۷ و ۴۷) پایین‌تر است [۲۸]. این امر می‌تواند بیانگر حضور مواد پوسته‌ای در منبع باشد [۲۹].

برای تعیین میزان تهی شدگی یا غنی شدگی سنگ‌های منطقه مورد بررسی از نسبت‌های عناصر ناسازگار Nb نسبت به Zr و Y [۳۰] استفاده شده است (شکل ۱۳). این عناصر بدليل تحرک بسیار پایین می‌توانند برای تفسیر سنگ‌زایی سنگ‌های آذرین حتی با درجه دگرسانی بالا مفید باشند [۳۱]. با توجه به نمودارهای شکل ۱۳، مآگماهای سنگ‌های نفوذی مورد بررسی از گوشته غنی شده ناشی شده است. عناصر کمیاب نسبت به عناصر اصلی کارآیی بهتری در تمایز فرآیندهای سنگ‌شناسی دارند. در نمودار توزیع عناصر بهنجار شده نسبت به کندریت [۳۲] (شکل ۱۴ الف)، الگوی تغییرات عناصر کمیاب به صورت موازی است که بیانگر خاستگاه

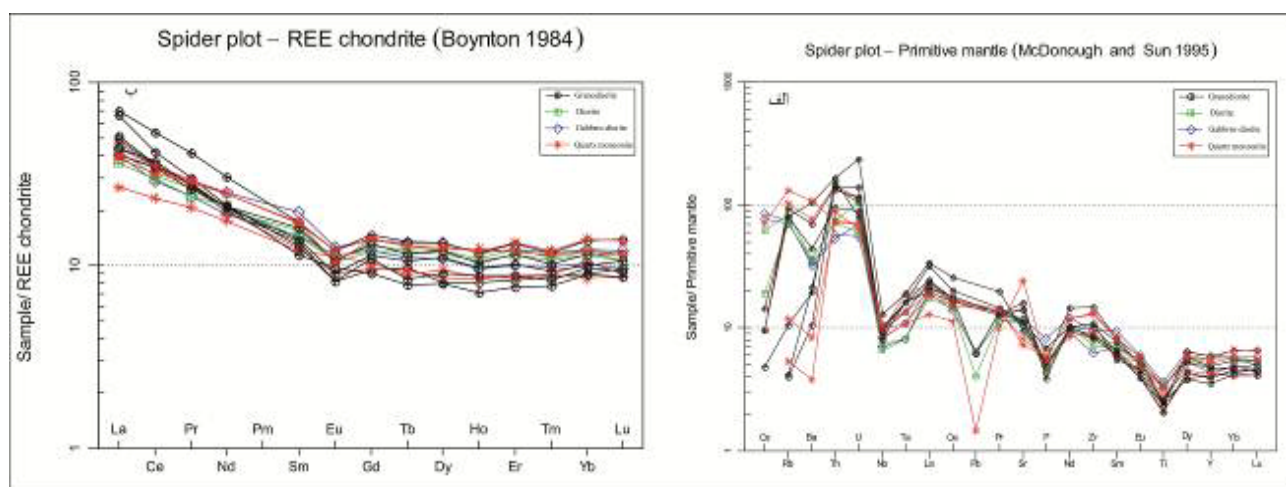
سنگ‌های توده نفوذی شهرک از عناصر ناسازگار مانند Rb، Th و U غنی شده‌اند که نشان دهنده مشارکت سنگ‌های پوسته‌ای در مآگماهای سازنده‌ی این سنگ‌هاست. در واقع، غنی‌شدنگی از Th، Rb و K از Ti، Sr و P از HREE و بازگشتن از ویژگی‌های مآگماهای پوسته‌ای است [۲۵] و می‌تواند نشان دهنده‌ی آغشتنگی با پوسته طی دگرگونی‌های مآگماهی باشد. فراوانی عناصر HFSE در مذاب‌های برآمده از گوشته در فرورانش بیشتر به واسطه‌ی ترکیب آن گوشته پیش از فرورانش کنترل می‌شود، در حالی که مقادیر عناصر Ba و LREEها می‌توانند توسط مذاب‌های سیلیکاتی ناشی از رسوب‌ها بر سنگ‌کرده اقیانوسی فرورونده منتقل شوند [۲۶]. نسبت Zr/Nb در سنگ‌های پوسته بالا و حدود ۲۲ تا ۲۵ گزارش شده است [۲۷] در حالی که این نسبت در سنگ‌های نفوذی مورد بررسی بین ۱۳ تا ۲۱ است. همچنین نسبت Nb/U در نمونه‌های مورد بررسی حدود ۱/۷-۵/۳ است که

چه به علت ذوببخشی (که در آن فلدوسپات در تفاله باقی می-ماند) است [۳۵]. در نمودار توزیع عناصر بهنجار شده نسبت به گوشته اولیه [۳۰] (شکل ۱۴ ب)، بی هنجاری‌های منفی آشکاری از Nb, P, Ta, Ti و همچنین بی هنجاری مثبت U و Th دیده می‌شود که از توده‌های نفوذی در کمان‌های قاره‌ای محسوب می‌شود [۳۶]. در این نمودار، Cs تغییرات بسیاری نسبت به گوشته اولیه نشان می‌دهد. بی هنجاری منفی Ti به نقش اکسیدهای Fe-Ti اشاره دارد [۳۸]. این بی-هنجاری با وارد شدن Ti به ساختار کانی‌های مانند تیتانومنیت در مراحل اولیه جدایش، می‌تواند ایجاد شود. در فعالیت‌های ماقمایی وابسته به فرورانش، گریزندگی بالای اکسیژن در پنهانه فرورانش باعث تهی‌شدگی Ti می‌شود. هنگامی که گریزندگی اکسیژن بالا باشد، تخلیه فاز‌های دربردارنده Ti در مذاب‌های برآمده از منطقه فرورانش نیازمند دمای بالایی است [۳۹]. همچنین آمفیبیول، آپاتیت، زیرکن، ایلمنیت، اسفن، مونازیت و روتیل از جمله کانی‌های بسیار مهم برای این عناصر در گوشته بالایی هستند و می‌توانند بی هنجاری این عناصر در فعالیت ماقمایی وابسته به فرورانش را کنترل کنند [۴۰]. تهی‌شدگی P نیز نشان دهنده تبلور فاز آپاتیت طی تبلور است. بی هنجاری منفی Nb که در همه نمودارهای بهنجار شده شکل ۱۴ دیده می‌شود، شاخص سنگ‌های قاره‌ای بوده و ممکن است نشان دهنده نقش پوسته در فرایندهای ماقمایی باشد [۴۱].

مشترک همه این سنگ‌هاست. براساس این نمودار همچنین عناصر خاکی نادر سبک (LREE) نسبت به عناصر خاکی نادر سنگین (HREE) غنی‌شدگی نشان می‌دهند. این غنی‌شدگی می‌تواند نتیجه عملکرد دو فرآیند آلودگی پوسته‌ای و ذوب بخشی گوشته غنی‌شده باشد [۳۳]. براساس نسبت‌های Ce_N/Yb_N و (La_N/Sm_N), (La_N/Yb_N) HREE و LREE, REE تعیین کرد. این نسبت‌ها به ترتیب برای سنگ‌های مورد بررسی تعیین کرد. ۲,۴۹-۴,۳۲ و ۲,۲۲-۵,۲۵، ۶,۸۸-۲,۸۸ این بی-هنجاری می‌تواند نشان دهنده میزان ذوب‌بخشی باشد، به این صورت که برای درجه‌های بسیار پایین ذوب‌بخشی، شبی این منحنی‌ها بالاست و عناصر خاکی نادر سبک غنی‌شدگی بسیار بیشتری را نسبت به عناصر خاکی نادر سنگین نشان می‌دهند. در حالی که با افزایش درجه ذوب بخشی، شبی این منحنی‌ها کاهش یافته و از غنی‌شدگی عناصر خاکی نادر سبک نسبت به غنی‌شدگی عناصر خاکی نادر سنگین کاسته می‌شود [۳۳]. در نمودار بهنجار شده REE ها نسبت به کندریت، تمرکز پایین HREE ها نسبت به LREE ها بر اثر عواملی چون درجه پایین ذوب‌بخشی، وجود گارنت باقی-مانده در سنگ خاستگاه و آلودگی ماقما بوجود می‌آید. همچنین الگوی مسطح HREE ها می‌تواند بیانگر فاز بر جامانده آمفیبیول طی ذوب‌بخشی پوسته زیرین مافیک باشد [۳۴]. بی هنجاری منفی Eu در نتیجه جدا شدن پلازیوکلаз و یا فلدوسپات پتاسیم‌دار از مذاب فلزی چه در اثر جدایش بلوری و



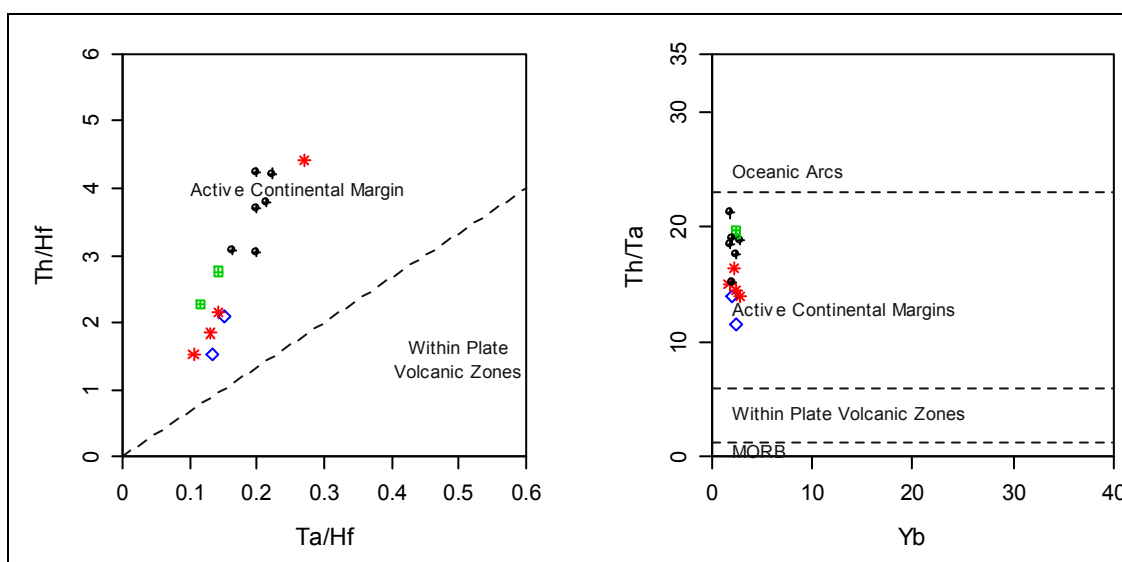
شکل ۱۳ (الف) نمودار N-Zr و (ب) نمودار Y-Zr برای تفکیک خاستگاه غنی‌شده و تهی‌شده و جایگاه سنگ‌های مورد بررسی بر آنها [۳۰].



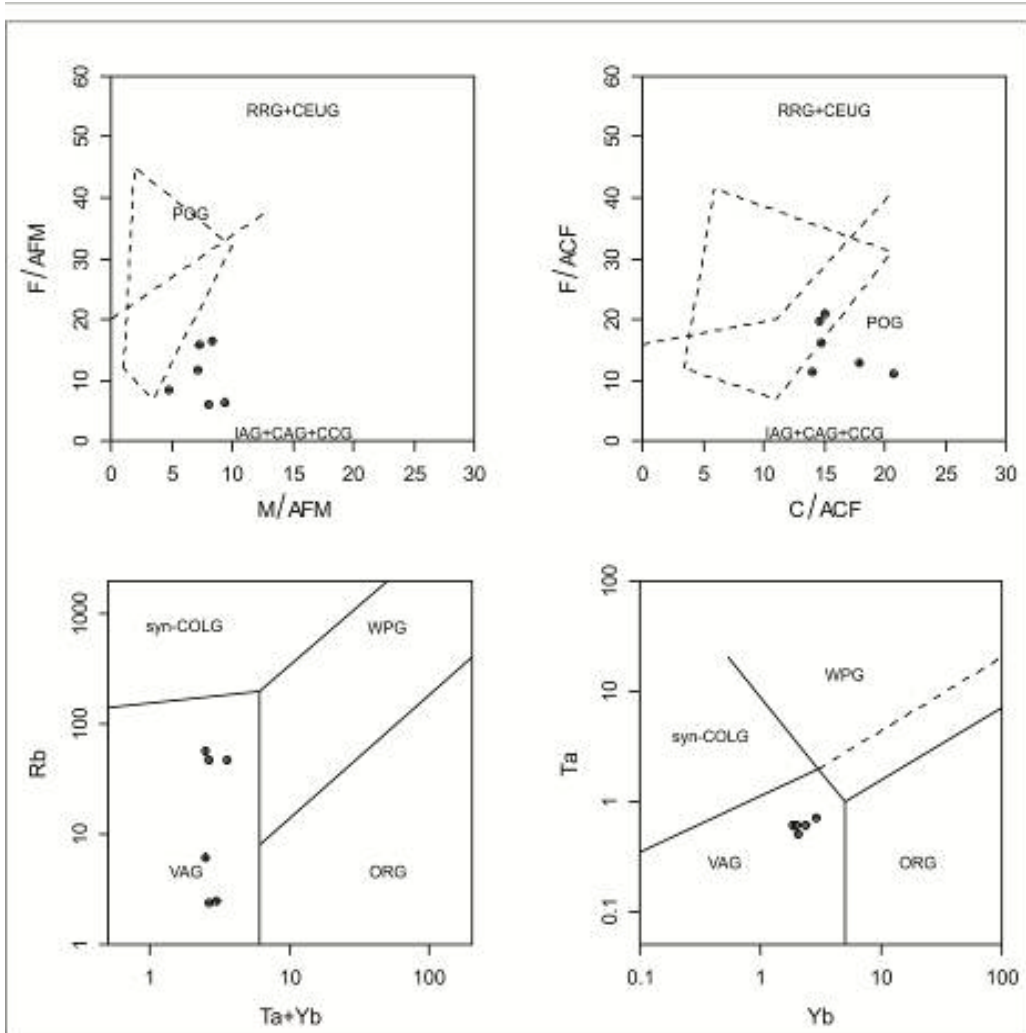
شکل ۱۴ (الف) نمودار عنکبوتی عناصر فرعی و کمیاب و (ب) بهنجار شده بر گوشته اولیه [۳۰] بهنجار شده بر پایه کندrit [۳۲].

غیرکوهزایی متمایز می‌کند (شکل ۱۶). همچنین در تفکیک زمین‌ساختی گرانیت‌وئیدها براساس عناصر کمیاب، گرانوڈیوریت‌های مورد بررسی بر نمودارهای تغییرات Ta نسبت Yb+Ta نسبت به Rb [۴۴] در گستره به Yb و تغییرات Rb نسبت به Yb+Ta (VAG) قرار دارند. در گرانیت‌وئیدهای قوس آتشفسانی (VAG) قرار دارند. در نمودارهای مراجع [۴۵, ۴۶] برای سنگ‌های گابرو‌دیوریت تا موزونیت توده نفوذی شهرک، نمونه‌های مورد بررسی در گستره قوس آتشفسانی و بازالت‌های آهکی قلیایی قرار دارند (شکل ۱۷).

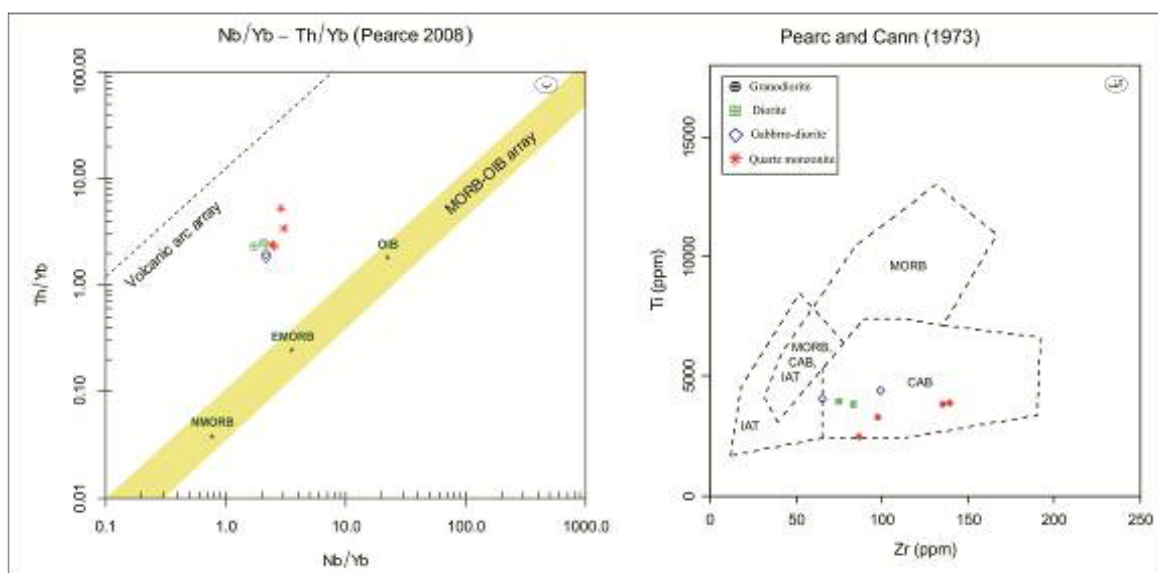
جایگاه زمین‌ساختی و سنگ‌زایی
برای تعیین جایگاه زمین‌ساختی سنگ‌های مورد بررسی از عناصر کمیاب مختلفی استفاده شد. در نمودارهای ارائه شده در مرجع [۴۲]، همه سنگ‌های مورد بررسی در گستره کرانه فعال قاره‌ای قرار دارند (شکل ۱۵). در نمودار تفکیک زمین‌ساختی گرانیت‌وئیدها براساس اکسیدهای اصلی $\text{FeO} + \text{MgO}$ نسبت به CaO و نمودار FeO نسبت به MgO [۴۳]، سنگ‌های CAG و نمودار FeO نسبت به CaO (IAG) واقع می‌شوند. قرارگیری گرانیت‌وئیدهای مورد نظر در گستره گرانیت‌های کوهزایی، آن‌ها را از گرانیت‌های



شکل ۱۵ نمودارهای تعیین جایگاه زمین‌ساختی همه نمونه‌های توده نفوذی شهرک بر اساس عناصر کمیاب [۴۲].



شکل ۱۶ تفکیک زمین‌ساختی گرانیت‌هایها با استفاده از (الف) نمودار $\text{FeOt}+\text{MgO}$ نسبت به MgO [۴۳] و (ب) نمودار CaO نسبت به FeOt [۴۴] و (ت) تغییرات Rb نسبت به $\text{Ta}+\text{Yb}$ [۴۵] و (پ) تغییرات Ta نسبت به Yb [۴۶]. جایگاه نمونه‌ها بر آن. پ- نمودار تغییرات Ta نسبت به Yb ، و ت) تغییرات Rb نسبت به $\text{Ta}+\text{Yb}$



شکل ۱۷ جایگاه نمونه‌های گابرو‌دیبوریت تا مونزونیت توده نفوذی شهرک (الف) بر نمودار $\text{Th}-(\text{Nb}/\text{Yb})$ [۴۶] و (ب) بر نمودار $\text{Ti}-\text{Zr}$ [۴۵]

دمای تشکیل پیروکسن‌ها ۹۰۰ تا ۱۲۵۰ محسوبه شده و فشار تبلور کلینوپیروکسن‌ها حدود ۶ تا ۱۰ کیلوبار برآورد شده است. ماقمای سازنده پیروکسن‌ها در گروه نیمه قلیایی قرار دارد و این نتیجه با ترکیب آهکی قلیایی سنگ‌های نفوذی شهرک که بر اساس ترکیب سنگ کل به دست آمده است همخوانی دارد. نمودارهای تفکیک محیط زمین‌ساختی تشکیل پیروکسن‌ها که با نتایج به دست آمده از بررسی‌های زمین‌شیمی سنگ کل همخوانی دارد گویای ارتباط نمونه‌ها با فرایند فرورانش است. بر اساس بررسی‌های انجام شده، مقدار آب موجود در محیط تبلور پیروکسن‌ها بین ۲/۵ تا ۱۰ درصد و در گستره فشار ۵ کیلوبار بوده است.

بررسی‌های زمین‌شیمی‌ای نشان داد که ماقمای مادر مجموعه نفوذی آهکی قلیایی و آهکی قلیایی پتانسیم بالاست. شواهد سنگ‌شناسی نشان می‌دهند که در تشکیل سنگ‌های منطقه فرآیند جدایش از گابرودیوریت به گرانودیوریت نقش اصلی را داشته است. غنی‌شدگی LILE‌ها و همچنین افت عناصر HFSE در الگوی توزیع عناصر کمیاب در نمودارهای عنکبوتی، ویژگی سنگ‌های وابسته به محیط فرورانش را نشان می‌دهند. در نمودارهای عنکبوتی عناصر LREE نسبت به HREE دارای غنی‌شدگی هستند که این ویژگی‌ها نیز در سنگ‌های مناطق فرورانش و کرانه‌ها فعال قاره‌ای دیده می‌شوند.

مراجع

- [1] Azizi shotorkhaft H., "Petrogenesis of Contact metamorphic rocks and associated iron skarn in the Shahrak Area (East of Takab)", PhD thesis, University of Tehran (2003).
- [2] Salemi R., "The Study of fluids inclusion and geochemistry in the Korcora-1 iron ore deposit (Shahrak, East of Takab)", Master's thesis, Bu-Ali Sina University, Hamedan (2003).
- [3] Fonoudi M., "Geological Map of Takab (1:100000)", Geological Survey and Mineral Exploration of Iran (1998).
- [4] Fonoudi M., "Geological Map of Yasoukand (Ghodjour) (1:100000)", Geological Survey and Mineral Exploration of Iran (2000).
- [5] Ghasemi A., Talbot C. J., "A new tectonic scenario for the Sanandaj-Sirjan Zone

همچنین از مجموعه شواهد زیر نیز می‌توان برای تعیین محیط زمین‌ساختی تشکیل توده نفوذی شهرک استفاده کرد: ۱- نسبت پایین Y/Nb (۰/۳۶-۰/۱۸) و تهی شدگی از عناصر HFSE، از ویژگی سنگ‌های تشکیل شده در قوس‌های ماگمایی وابسته به فرورانش است [۴۷]. ۲- به عقیده نیوتون و همکاران [۴۸]، مقدار بالای Ba/Nb (بیش از ۲۸) شاخص سنگ‌های تشکیل شده در قوس‌های ماگمایی مربوط به قطعه فرورانده نگه داشته شده و این در حالی است که عناصر LILE مانند Ti, Ta, Nb, Rb, Sr, Ba و K به آسانی به بخش بالایی مذاب گوشته‌ای وارد می‌شوند [۴۷]. میانگین این نسبت در نمونه‌های مورد بررسی حدود ۴۷ بیش از ۲۸ است. ۳- دو عنصر Th و Ta به دلیل رفتار مشابه طی فرآیندهای ذوب و تبلور می‌توانند ابزار مفید دیگری برای تعیین محیط زمین‌ساختی و خاستگاه باشند [۴۹]. مقدار پایین Th/Ta (حدود ۱/۲) نشانگر محیط زمین‌ساختی کششی مانند کافت‌های گسترش کف بستر اقیانوسی و یا فعالیت ماگمایی درون صفحه‌ای و مقدار بالای Th/Ta (بیش از ۶) بیانگر محیط زمین‌ساختی کرانه‌های همگرا و محیط فرورانشی است. این نسبت در سنگ‌های مورد بررسی حدود ۱۱/۵ تا ۲۱ و تایید کننده محیط فرورانشی است.

برداشت

توده نفوذی منطقه شهرک واقع در پهنه ارومیه-دختر با ترکیب سنگ‌شناسی متنوع شامل مونزوگابرو، مونزودیوریت، مونزونیت و گرانودیوریت به درون واحدهای رسوبی ائوسن و الیگومیوسن و دگرگونه‌های کرتاسه و پرکامبرین نفوذ کرده است و به همین دلیل سنی پس از الیگوسن-میوسن (میوسن پسین) به آنها نسبت داده شده است. بر پایه بررسی‌های میکروسکوپی، ترکیب سنگ‌شناسی این توده شامل گابرودیوریت-مونزوگابرو، دیوریت-مونزودیوریت، مونزونیت-کوارتز-مونزونیت و گرانودیوریت است. کانی‌های غالب در ترکیب این سنگ‌ها پلازیوکلаз، کلینوپیروکسن، فلدسپار پتانسیم و کوارتز است. ترکیب پلازیوکلазها در این توده متغیر است و از آندزین تا بیتونیت تغییر می‌کند. فلدسپارهای قلیایی در گستره ارتوکلаз، کلینوپیروکسن‌ها در گستره اوژیت و کلینوانتستاتیت قرار می‌گیرند. دمای جایگیری توده نفوذی مورد بررسی، بر اساس

- [15] Green T. H., "Crystallization of calc-alkaline andesite under controlled high-pressure hydrous conditions", Contributions to Mineralogy and Petrology, 34(2) (1972) 150-166.
- [16] Leterrier J., Maury R. C., Thonon P., Girard D., Marchal M., "Clinopyroxene composition as a method of identification of the magmatic affinities of paleo-volcanic series", Earth and Planetary Science Letters, 59(1) (1982) 139-154.
- [17] Loucks R. R., "Discrimination of ophiolitic from nonophiolitic ultramafic-mafic allochthons in orogenic belts by the Al/Ti ratio in clinopyroxene", Geology, 18(4) (1990) 346-349.
- [18] Cox K. G., Bell J. D., Pankhurst R. J., "The interpretation of igneous rocks", George Allen and Unwin (1979).
- [19] De La Roche H., Leterrier J. T., Grandclaude P., Marchal M., "A classification of volcanic and plutonic rocks using RIR2-diagram and major-element analyses—its relationships with current nomenclature", Chemical geology, 29(1-4), 183-210.
- [20] Mryashiro A., "Volcanic rock series in island arcs and active continental margins", Amer. Jour. Sci., 274 (1974) 321-355.
- [21] Shand S. J., "Eruptive rocks: their genesis, composition, classification", and their relation to ore deposits with a chapter on meteorites No. 552.1 S43 (1943).
- [22] Hastie A. R., Kerr A. C., Pearce, J. A., Mitchell, S. F., "Classification of altered volcanic island arc rocks using immobile trace elements: development of the Th-Co discrimination diagram", Journal of petrology, 48(12) (2007) 2341-2357.
- [23] Harker A., "The natural history of igneous rocks Methneu", London. 344p (1909).
- [24] Rogers G., Hawkesworth C. J., "A geochemical traverse across the North Chilean Andes: evidence for crust generation from the mantle wedge", Earth and Planetary Science Letters, 91(3-4) (1989) 271-285.
- [25] Chappell B. W., White A. J. R., "I-and S-type granites in the Lachlan Fold Belt", Earth and Environmental Science Transactions of the Royal Society of Edinburgh, 83(1-2) (1992) 1-26.
- (Iran)", Journal of Asian Earth Sciences, 26(6), (2006) 683-693.
- [6] Sepahi A. A., Athari S. F., "Petrology of major granitic plutons of the northwestern part of the Sanandaj-Sirjan Metamorphic Belt, Zagros Orogen, Iran: with emphasis on A-type granitoids from the SE Saqqez area", Neues Jahrbuch für Mineralogie-Abhandlungen: Journal of Mineralogy and Geochemistry, 183(1) (2006) 93-106.
- [7] Esfahani M. M., Khalili M., "Petrology of the Molataleb village granitoid (North of Aligudarz), NW of Isfahan, low temperature peraluminous I-type" Petrology (2228-5210) (2014) 5(17).
- [8] Shahbazi H., Siebel W., Pourmoafee M., Ghorbani M., Sepahi A. A., Shang C. K., Abedini M. V., "Geochemistry and U-Pb zircon geochronology of the Alvand plutonic complex in Sanandaj-Sirjan Zone (Iran): New evidence for Jurassic magmatism", Journal of Asian Earth Sciences, 39(6) (2010) 668-683.
- [9] Alavi M., Amidi M., Tatavosian Sh., "Geological Map of Takab (1:250000)", Geological Survey and Mineral Exploration of Iran (1982).
- [10] Zussman J., Howie R. A., Deer W. A., "An introduction to the rock forming minerals. Longman Group Ltd, New York, p 698Defant MJ, Drummond MS (1990) Derivation of some modern arc magmas by melting of young subducted lithosphere". Nature, 347, 662665Della.
- [11] Morimoto N., "Nomenclature of pyroxenes", Mineralogy and Petrology, 39(1) (1988) 55-76.
- [12] Rock N. M. S., "The International Mineralogical Association (IMA/CNMMN) pyroxene nomenclature scheme: computerization and its consequences", Mineralogy and Petrology, 43(2) (1990) 99-119.
- [13] Soesoo A., "A multivariate statistical analysis of clinopyroxene composition: Empirical coordinates for the crystallisation PT-estimations", GFF, 119(1) (1997) 55-60.
- [14] Helz R. T., "Phase relations of basalts in their melting range at $\text{PH}_2\text{O} = 5 \text{ kb}$ as a function of oxygen fugacity: part I. Mafic phases", Journal of Petrology, 14(2) (1973) 249-302.

- [35] Rollinson H. R., "Using geochemical data: evaluation, presentation", interpretation. Routledge (2014).
- [36] Wang, K. L., Chung S. L., O'reilly S. Y., Sun S. S., Shinjo R., Chen C. H., "Geochemical constraints for the genesis of post-collisional magmatism and the geodynamic evolution of the northern Taiwan region", Journal of Petrology, 45(5), 975-1011.
- [37] Richards J. P., Boyce A. J., Pringle M. S., "Geologic evolution of the Escondida area, northern Chile: A model for spatial and temporal localization of porphyry Cu mineralization", Economic Geology, 96(2) 271-305.
- [38] Rollinson H. R., "Discriminating between tectonic environments using geochemical data. Using Geochemical Data: Evaluation, Presentation", Interpretation. Longman Scientific & Technical, Essex, UK, (1993) 171-214.
- [39] Edwards C. M., Menzies M. A., Thirlwall M. F., Morris J. D., Leeman W. P., Harmon R. S., "The Transition to Potassic Alkaline Volcanism in Island Arcs: The Ringgit—Beser Complex, East Java, Indonesia", Journal of Petrology, 35(6), 1557-1595.
- [40] Wilson B. M., "Igneous petrogenesis a global tectonic approach", Springer Science & Business Media, (2007) 466p.
- [41] Saunders A. D., Storey M., Kent R. W., Norry M. J., "Consequences of plume-lithosphere interactions", Geological Society, London, Special Publications, 68(1), 41-60.
- [42] Schandl E. S., Gorton M. P., "Application of high field strength elements to discriminate tectonic settings in VMS environments", Economic Geology, 97(3) (2002) 629-642.
- [43] Maniar P. D., Piccoli P. M., "Tectonic discrimination of granitoids", Geological society of America bulletin, 101(5) (1989) 635-643.
- [44] Pearce J. A., Harris N. B., Tindle A. G. "Trace element discrimination diagrams for the tectonic interpretation of granitic rocks", Journal of petrology, 25(4) (1984) 956-983.
- [45] Pearce J. A., Cann J. R., "Tectonic setting of basic volcanic rocks determined using trace [26] Tiepolo M., Tribuzio R., Vannucci R., "The compositions of mantle-derived melts developed during the Alpine continental collision", Contributions to Mineralogy and Petrology, 144(1) (2002) 1-15.
- [27] Thie'blemont D., Tegyey M., "Une discrimination géochimique des roches différenciées témoins de la diversité d'origine et de situation tectonique des magmas calco-alkalins. Compte Rendu des Académies des Sciences", Paris, Science, Série II, 319(1994) 87-94. Treuil N.T.
- [28] Hofmann A. W., Jochum K. P., Seufert M., White W. M., "Nb and Pb in oceanic basalts: new constraints on mantle evolution", Earth and Planetary science letters, 79(1-2) (1986) 33-45.
- [29] Yang J. H., Chung S. L., Wilde S. A., Wu F. Y., Chu M. F., Lo C. H., Fan H. R., "Petrogenesis of post-orogenic syenites in the Sulu Orogenic Belt, East China: geochronological, geochemical and Nd-Sr isotopic evidence", Chemical Geology, 214(1-2) (2005) 99-125.
- [30] Sun S. S., McDonough W. S., "Chemical and isotopic systematics of oceanic basalts: implications for mantle composition and processes", Geological Society, London, Special Publications, 42(1) (1989) 313-345.
- [31] Widdowson M., Pringle M. S., Fernandez O. A., "A post K-T boundary (Early Palaeocene) age for Deccan-type feeder dykes", Goa, India. Journal of Petrology, 41(7) (2000) 1177-1194.
- [32] Boynton W. V., "Cosmochemistry of the rare earth elements: meteorite studies", In Developments in geochemistry(Vol. 2, pp. 63-114). Elsevier.
- [33] Srivastava R. K., Singh R. K., "Trace element geochemistry and genesis of Precambrian sub-alkaline mafic dikes from the central Indian craton: evidence for mantle metasomatism", Journal of Asian Earth Sciences, 23(3) (2004) 373-389.
- [34] Zhao Z. F., Zheng Y. F., Wei C. S., Wu Y. B., "Post-collisional granitoids from the Dabie orogen in China: Zircon U-Pb age, element and O isotope evidence for recycling of subducted continental crust". Lithos, 93(3-4), 248-272.

- [48] Fitton J. G., James D., Kempton P. D., Ormerod D. S., Leeman W. P., "The role of lithospheric mantle in the generation of late Cenozoic basic magmas in the western United States", Journal of Petrology, (1), 331-349..
- [49] Treuil M. I. C. H. E. L., Joron J. L., "Utilisation des éléments hygromagnétophiles pour la simplification de la modélisation quantitative des processus magmatiques: exemples de l'Afar et de la dorsale médio-atlantique", Soc. Ital. Miner. Petrol, 31, 125-174.
- element analyses", Earth and planetary science letters, 19(2) (1973) 290-300.
- [46] Pearce J. A., "Geochemical fingerprinting of oceanic basalts with applications to ophiolite classification and the search for Archean oceanic crust", Lithos, 100(1-4) (2008) 14-48.
- [47] Pearce J. A., "Role of the sub-continental lithosphere in magma genesis at active continental margins", (1983).